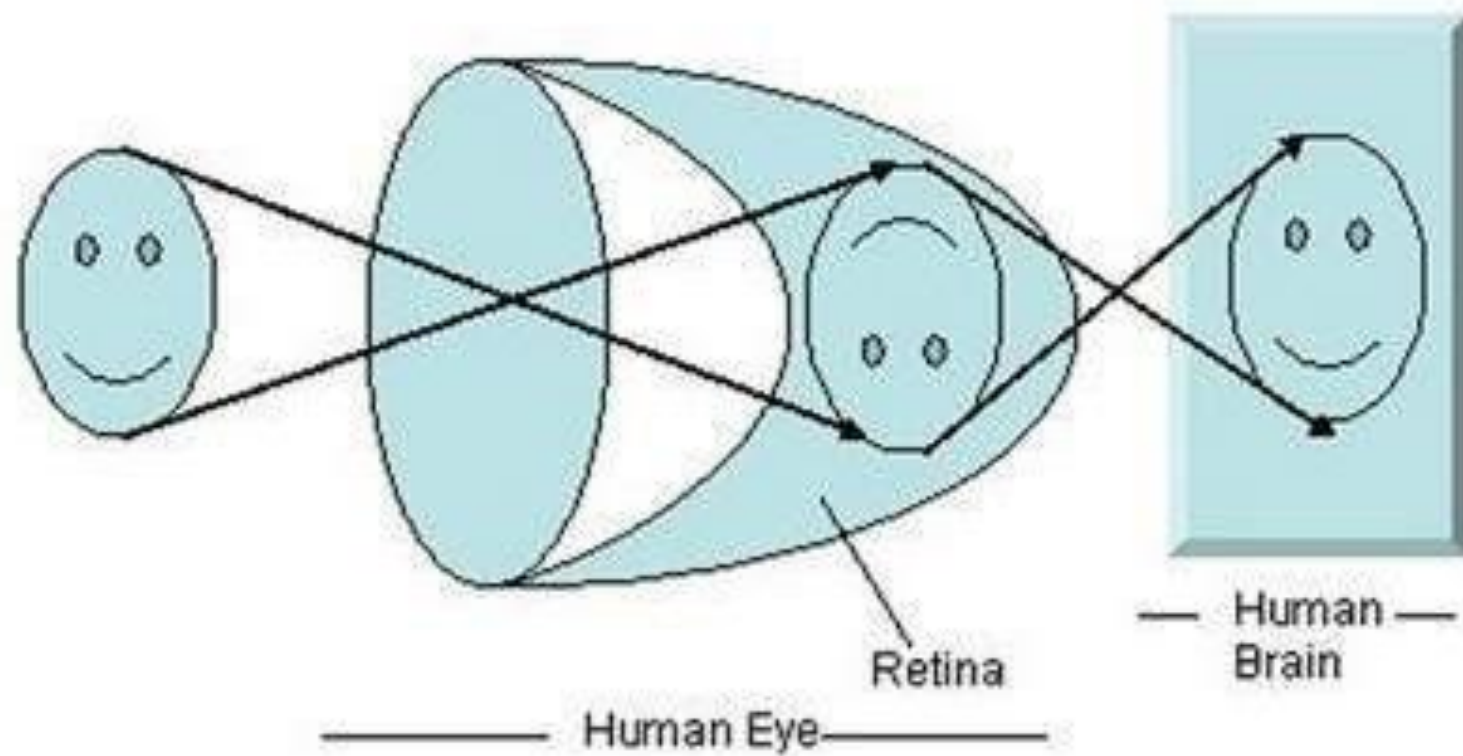


# МАТЕМАТИЧЕСКИЕ МЕТОДЫ РАСПОЗНАВАНИЯ ОБРАЗОВ

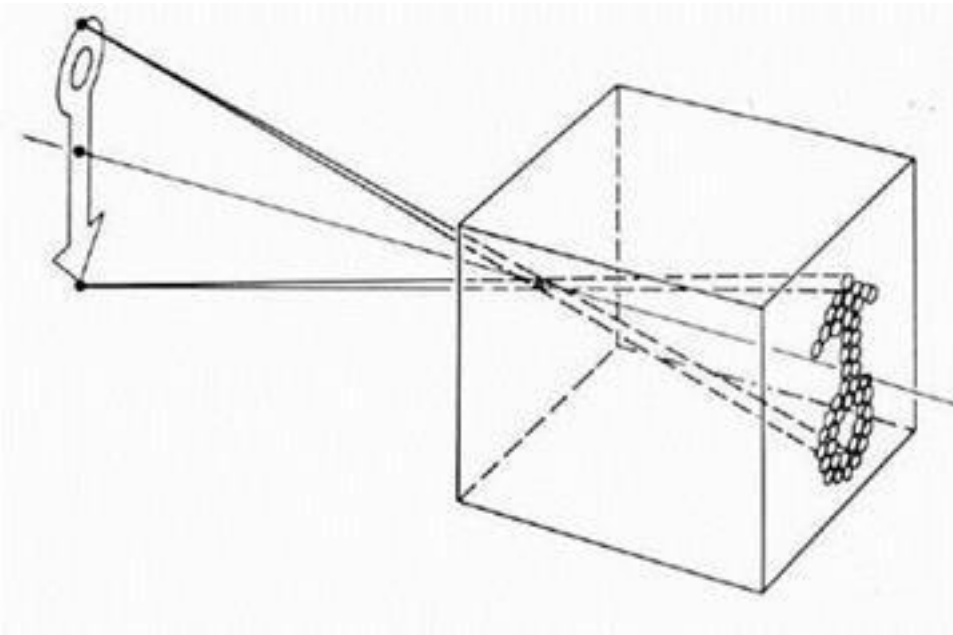
## Лекция 2

# Формирование изображений человеком



# Формирование изображений

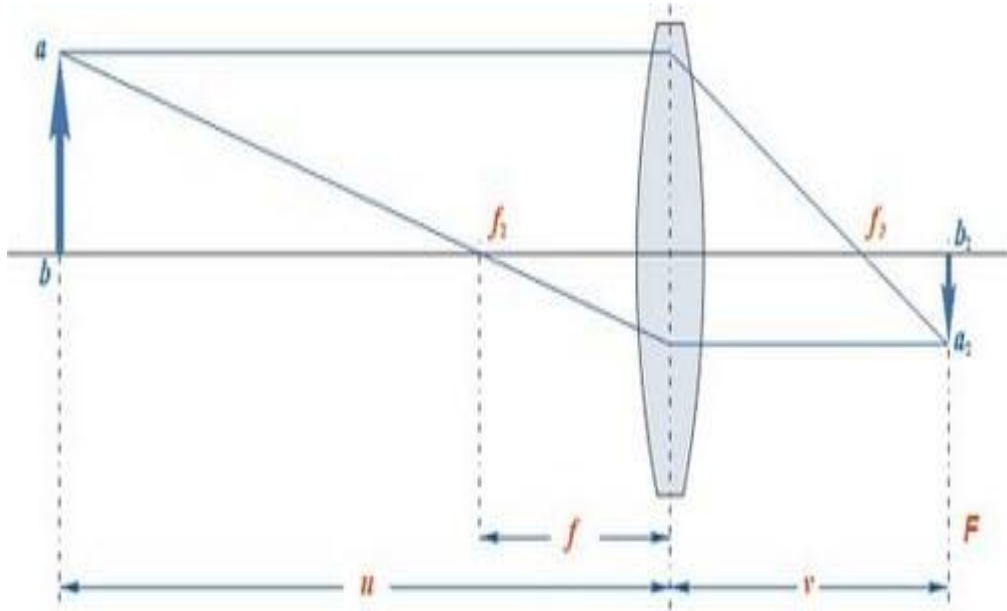
## Модель камеры-обскуры (pinhole)



Модель:

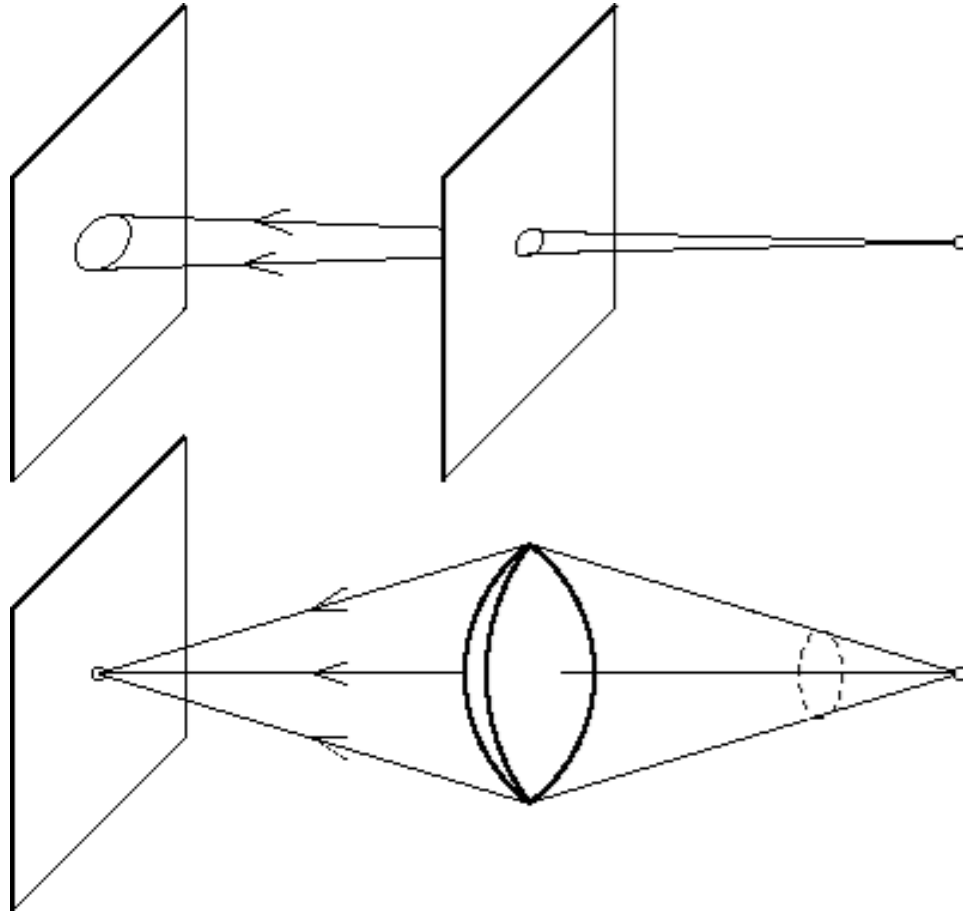
- В преграде отверстие размеров в одну точку
- Все лучи проходят через одну точку
- Эта точка называется **Центром Проекции (ЦП)**
- Реальный размер отверстия – **Апертура**
- Изображение формируется на **Картинной плоскости**
- **Фокусным расстоянием  $f$**  называется расстояние от ЦП до Картинной плоскости

# Формирование изображений



- **Линза** – прозрачное тело, ограниченное криволинейными поверхностями.
- **Оптический центр линзы** – это точка, проходя через которую лучи не меняют своего направления.
- **Главная оптическая ось** – прямая, проходящая через центры сферических поверхностей линзы.
- **Побочная оптическая ось** – любая прямая, кроме главной оптической оси, проходящая через оптический центр.
- **Главный оптический фокус** – точка, в которой после преломления пересекаются все лучи, падающие на линзу, параллельно главной оптической оси.
- **Фокусное расстояние** – расстояние от линзы до ее фокуса.
- **Фокальная плоскость** – плоскость, проведенная через главный фокус перпендикулярно главной оптической оси.
- **Оптическая сила линзы** – величина, обратная фокусному расстоянию.
- **Линейное увеличение** – отношение линейного размера изображения к линейному размеру предмета.

# Формирование изображений



- Линза:

диск из прозрачного однородного материала, ограниченный двумя полированными сферическими, или плоской и сферической, поверхностями

Линза позволяет увеличить поток света от каждой точки

## Виды линз



1



2



3

Выпуклые линзы



4



5

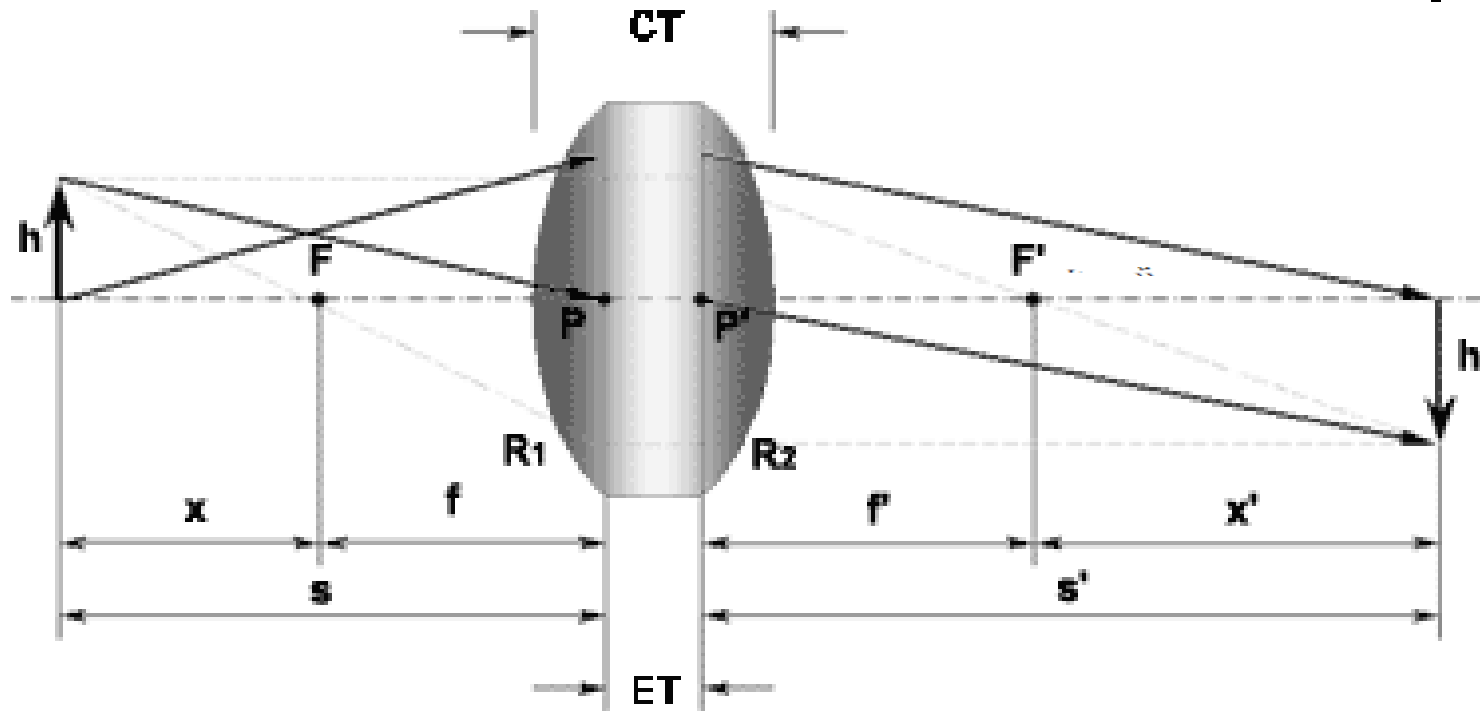


6

Вогнутые линзы

# Формирование изображений

Толстая линза  $\frac{1}{f} = (n-1) \cdot \left( \frac{1}{R_1} - \frac{1}{R_2} + \frac{(n-1) \cdot CT}{n \cdot R_1 \cdot R_2} \right)$

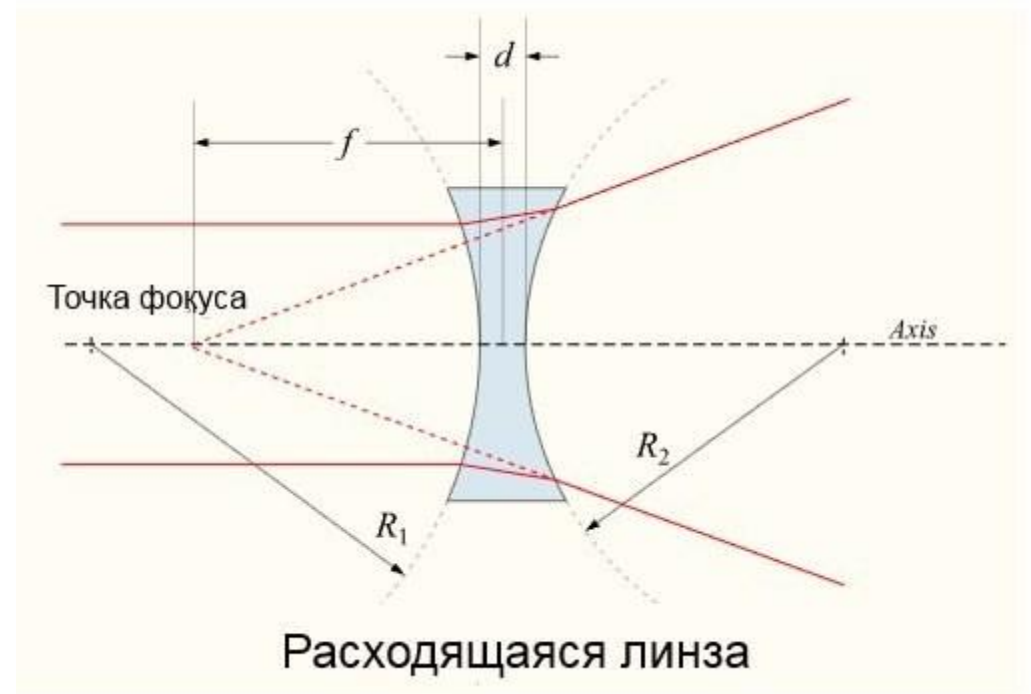
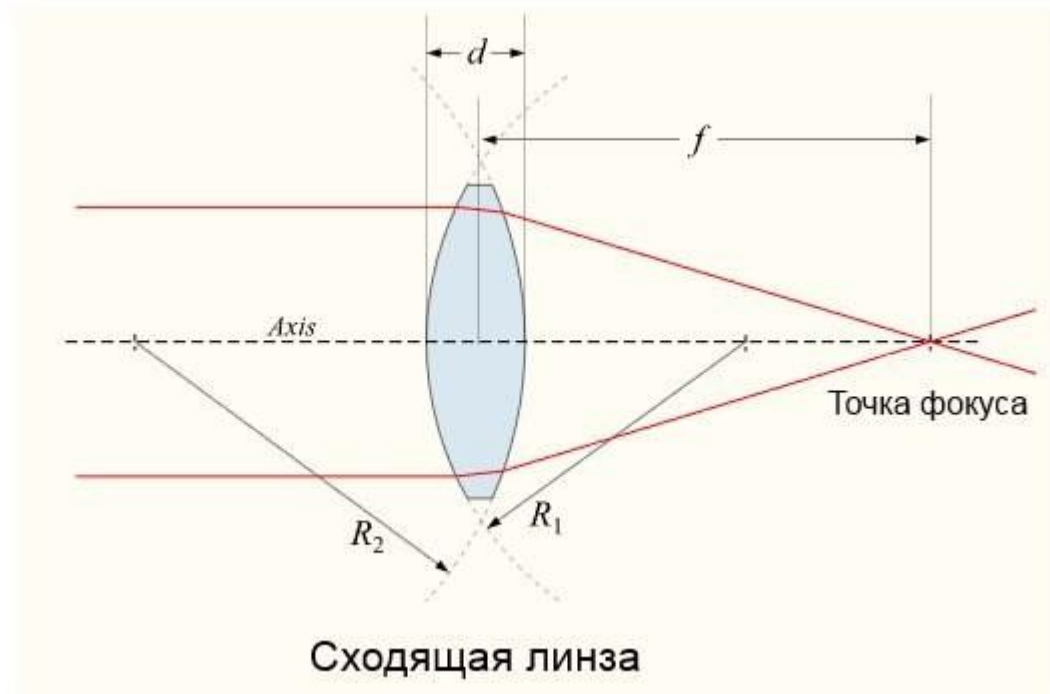


Линейное увеличение

$$\Gamma = \frac{h'}{h}$$

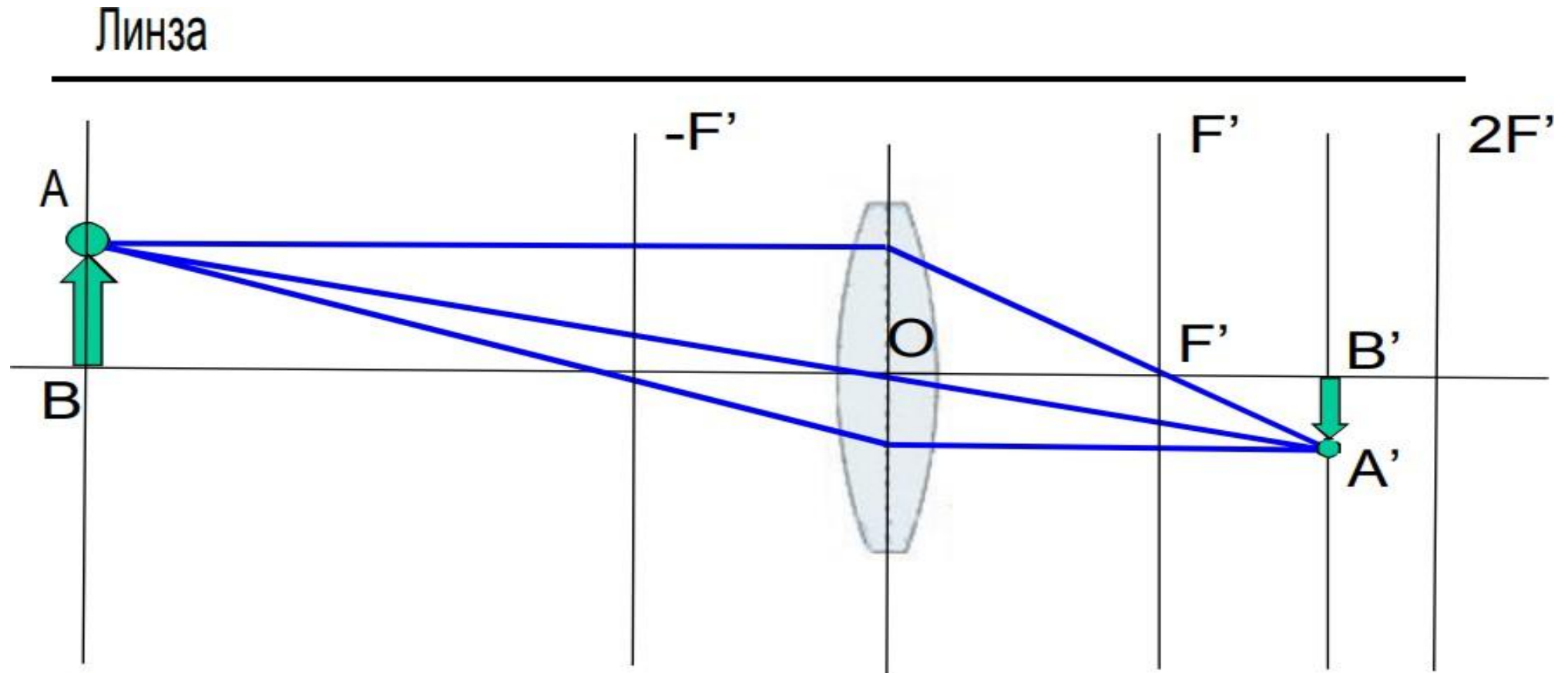
Тонкая линза  $\frac{1}{f} = (n-1) \cdot \left( \frac{1}{R_1} - \frac{1}{R_2} \right)$

# Формирование изображений



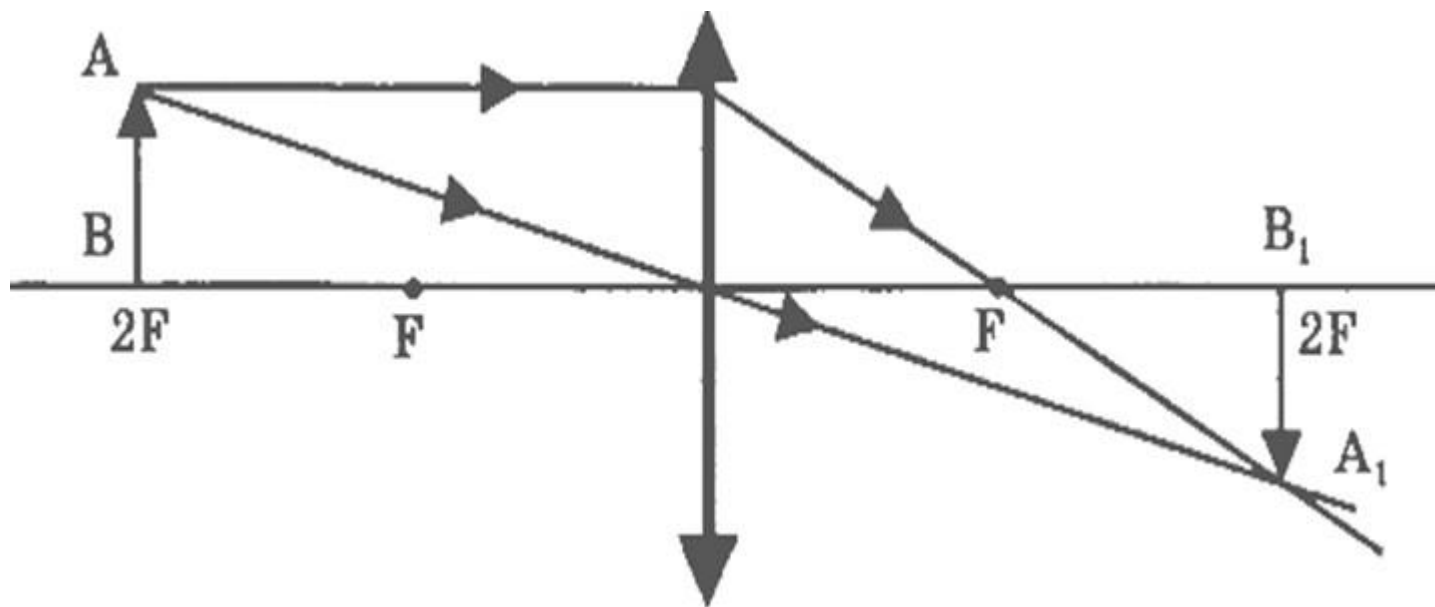


# Формирование изображений

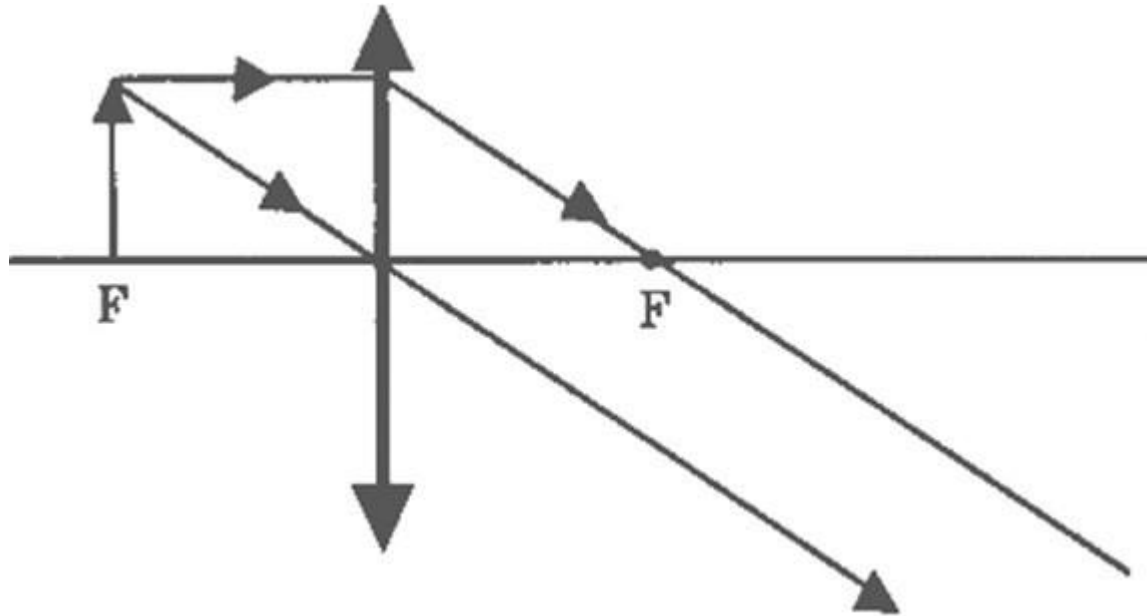


- Лучи от одной точки объекта, преломляясь линзой, фокусируются в одной точке позади линзы
- Луч, проходящий через центр линзы не преломляется
- Система точно как камера-обскура, но собирает больше света
  - $O$  — центр проекции (центр линзы)

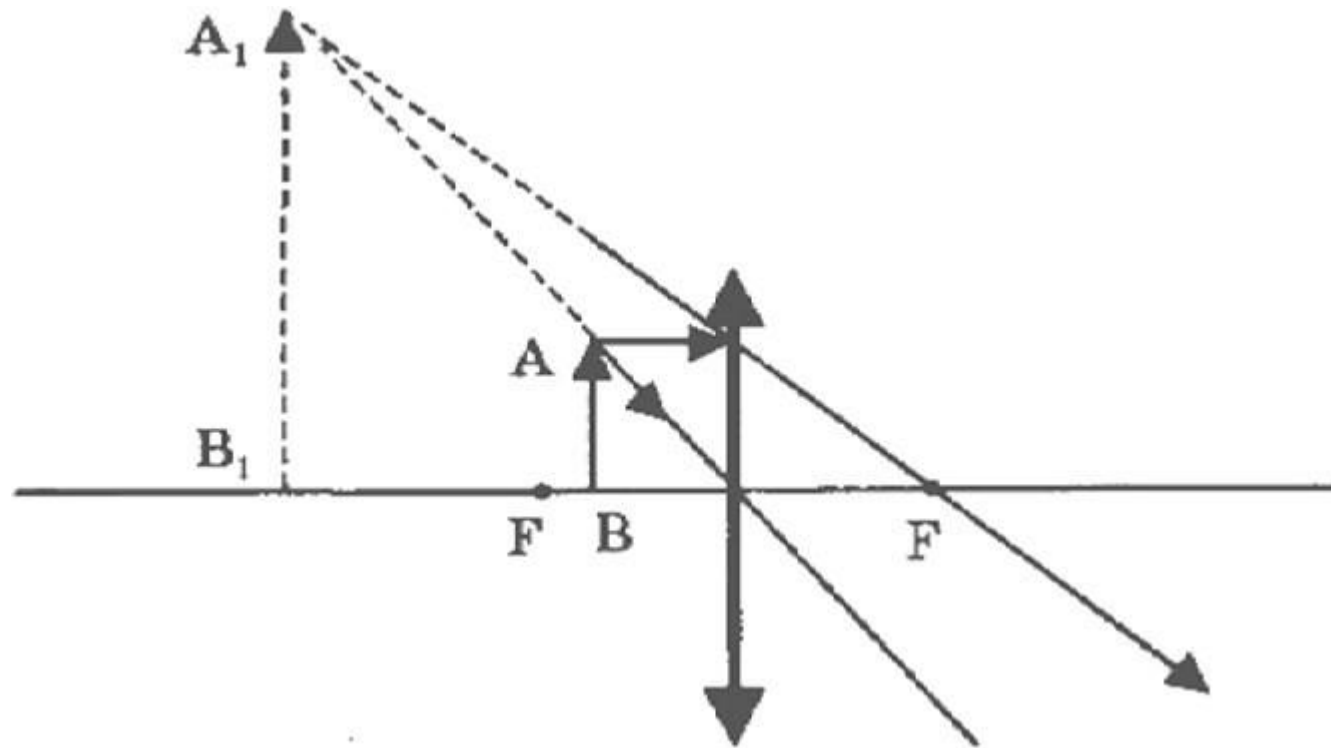
Если предмет находится в двойном фокусе, то изображение получится действительное, равное, обратное.



Если предмет находится в фокусе, то изображения нет.



Если предмет находится между фокусом и оптическим центром, то изображение мнимое, прямое, увеличенное.



# Формирование изображений

$$\frac{1}{d} + \frac{1}{f} = \frac{1}{F}$$

$d$  – расстояние от светящейся точки  
до оптического центра линзы  
 $f$  – расстояние от оптического центра линзы  
до изображения точки  
 $F$  – фокусное расстояние линзы

**При расчетах числовые значения действительных величин всегда подставляются со знаком «+», а мнимых со знаком «-».**

# Формирование оптических изображений

$$D = \frac{1}{F}$$

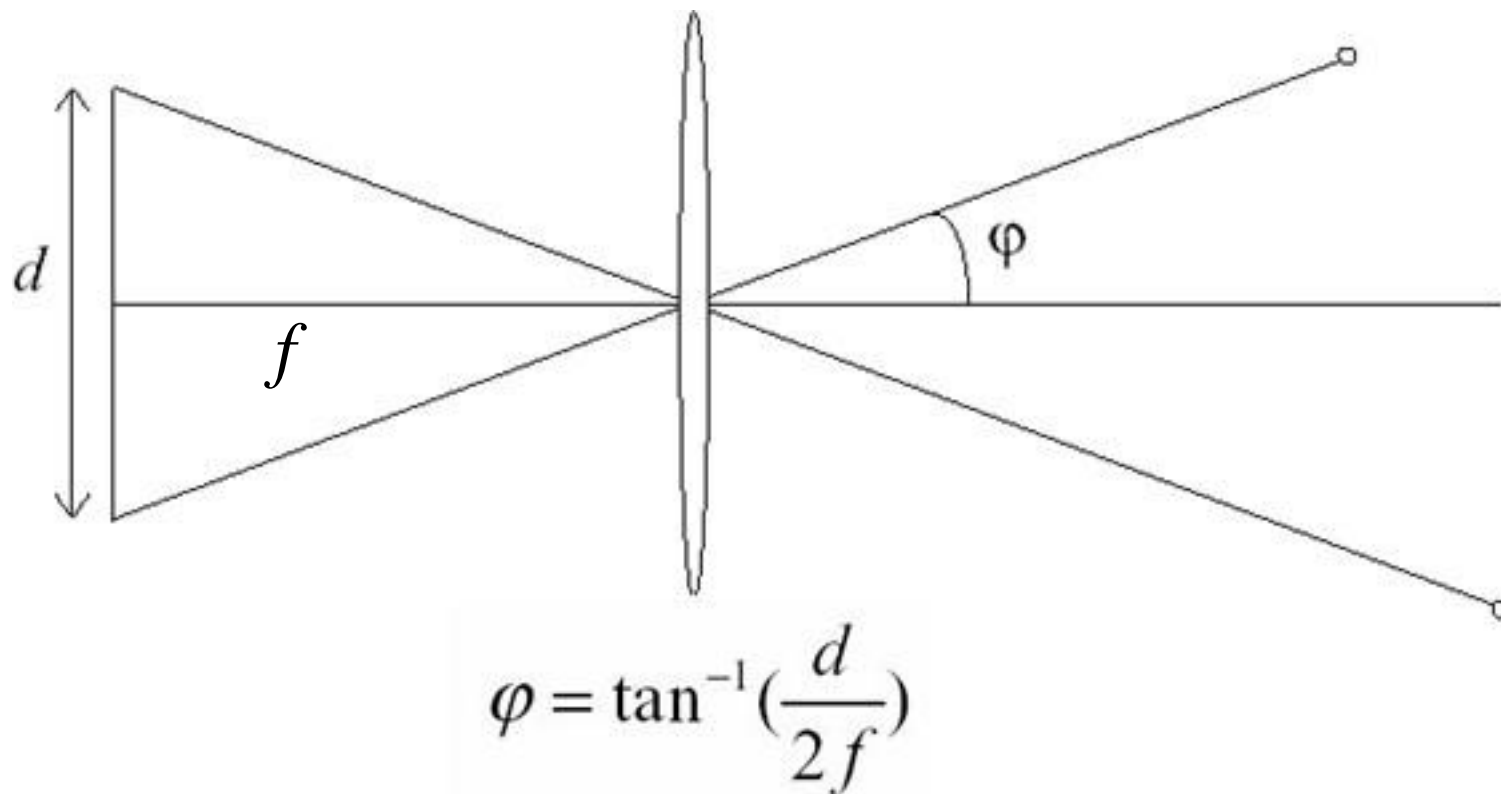
$D$  – оптическая сила линзы (или системы линз)

$F$  – фокусное расстояние линзы  
(или системы линз)

Единицей оптической силы линзы является  
диоптрия ( $\text{м}^{-1}$ )

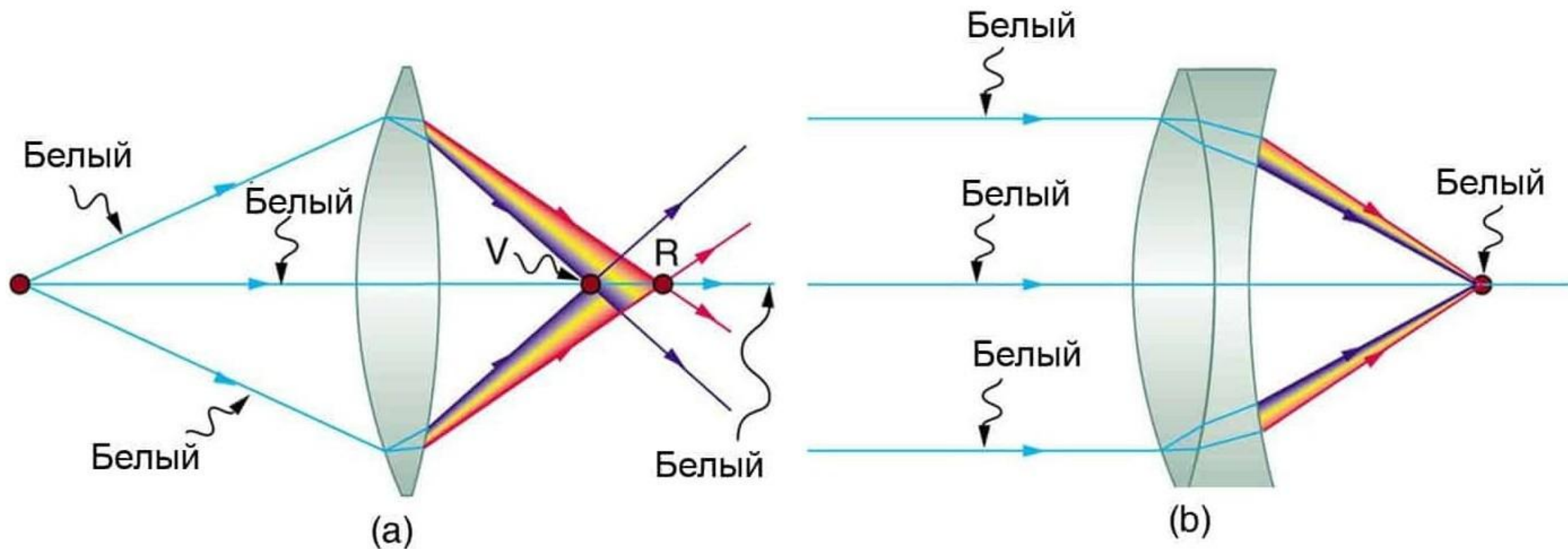
Отрицательная для рассеивающих линз!

# Формирование оптических изображений



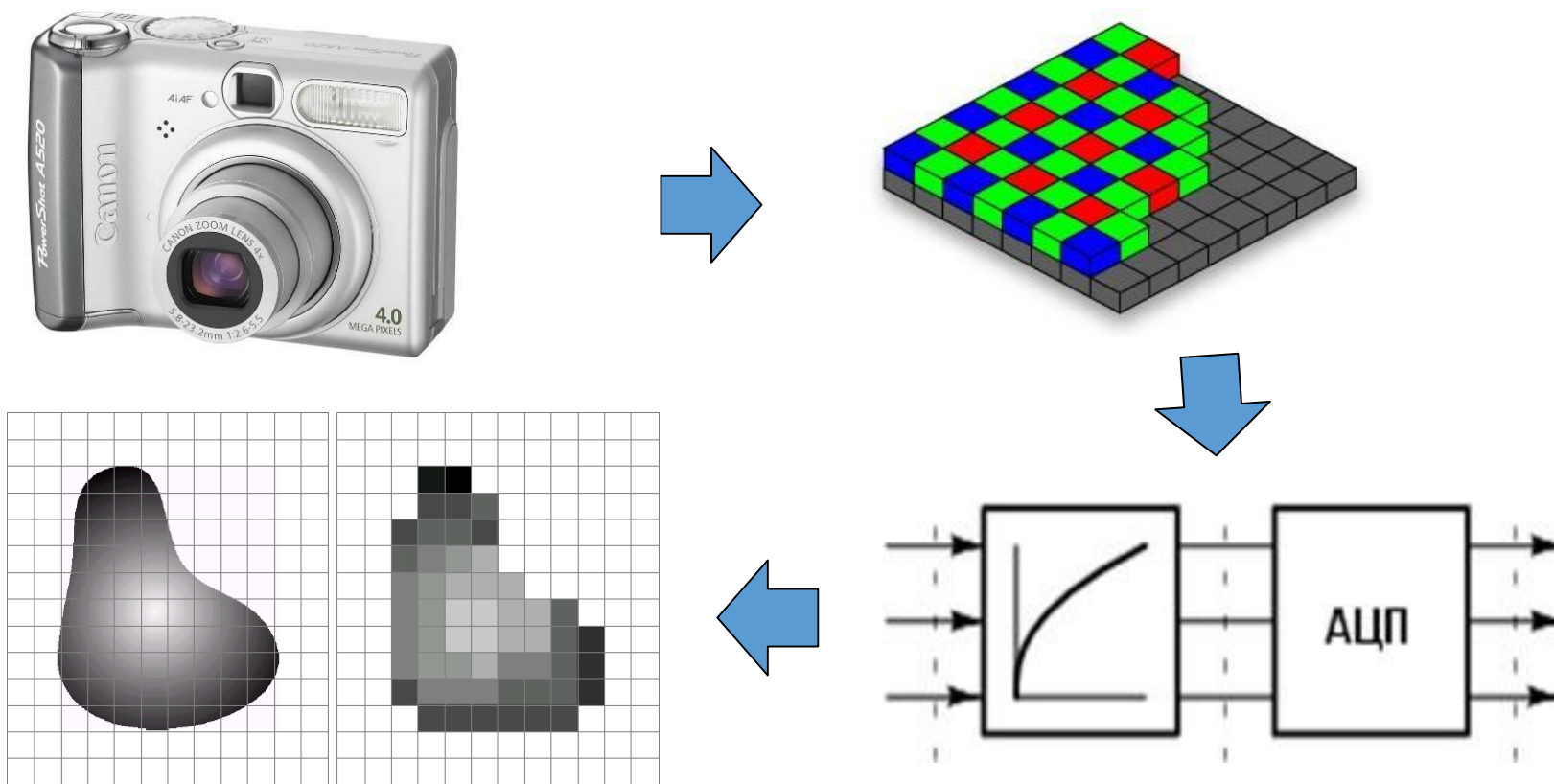
- Размер матрицы ограничен – ограничен угол обзора
- Больше фокусное расстояние – меньше угол обзора
- Меньше фокусное расстояние – больше угол обзора

# Формирование оптических изображений

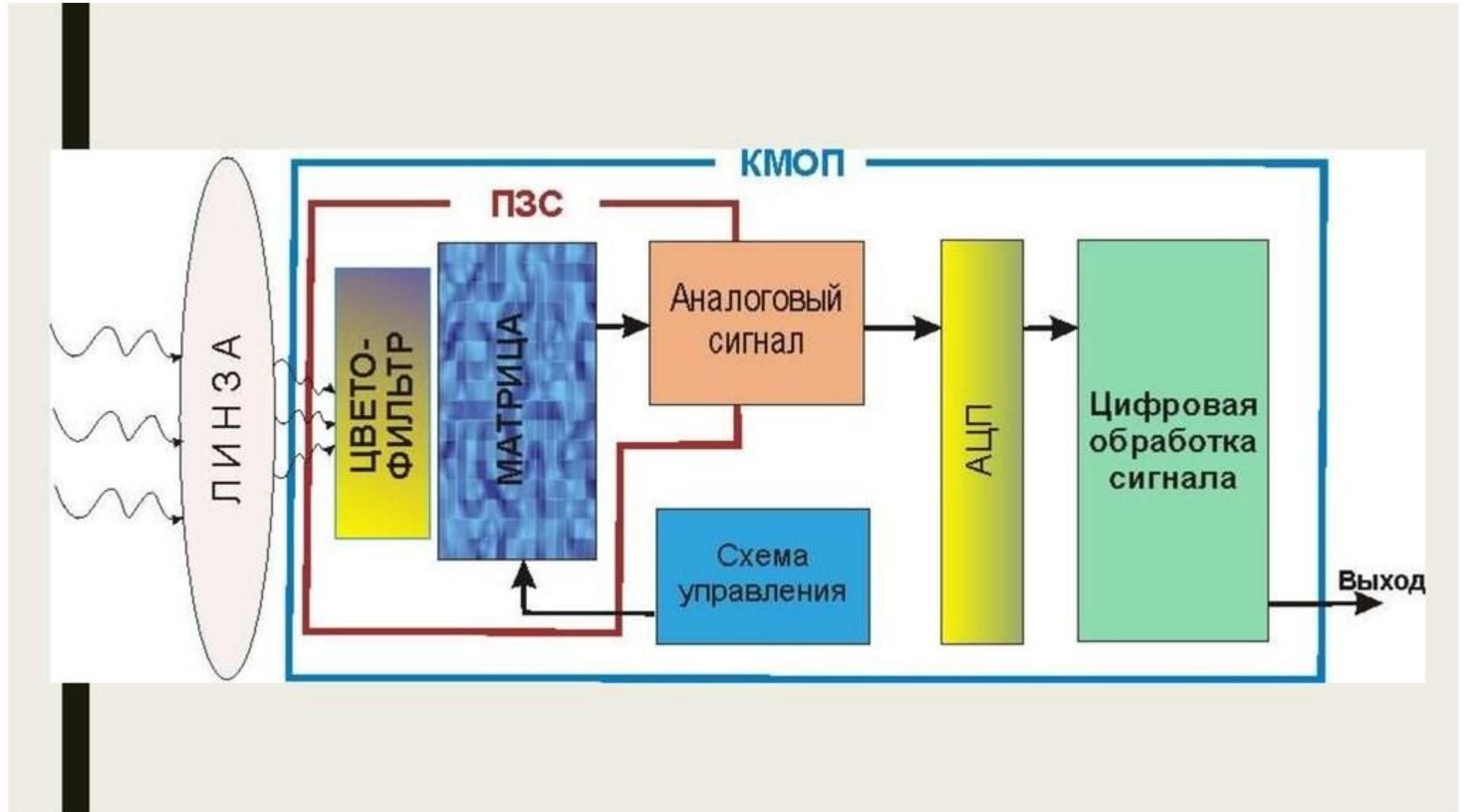




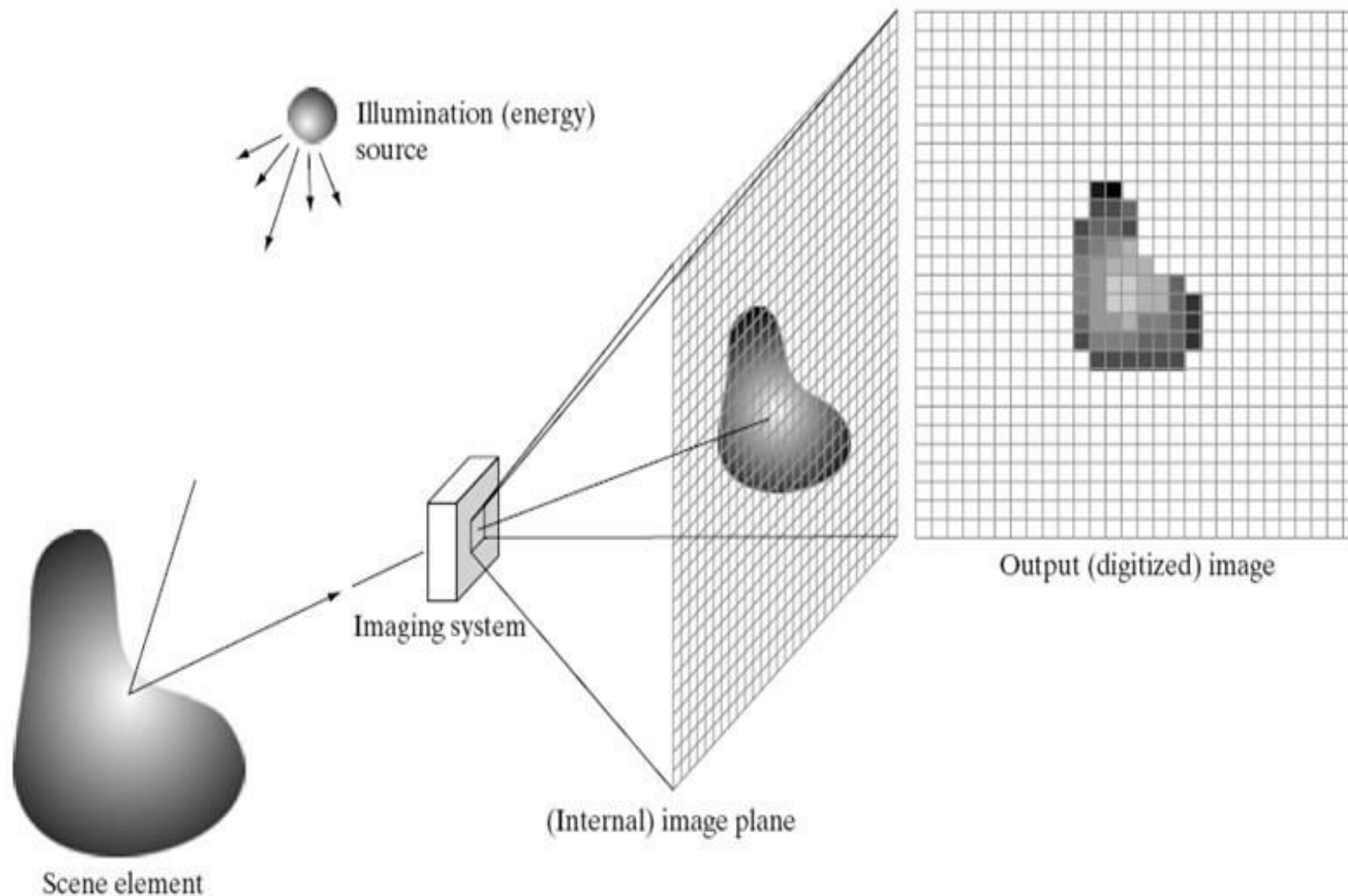
# Дискретизация и квантование изображений



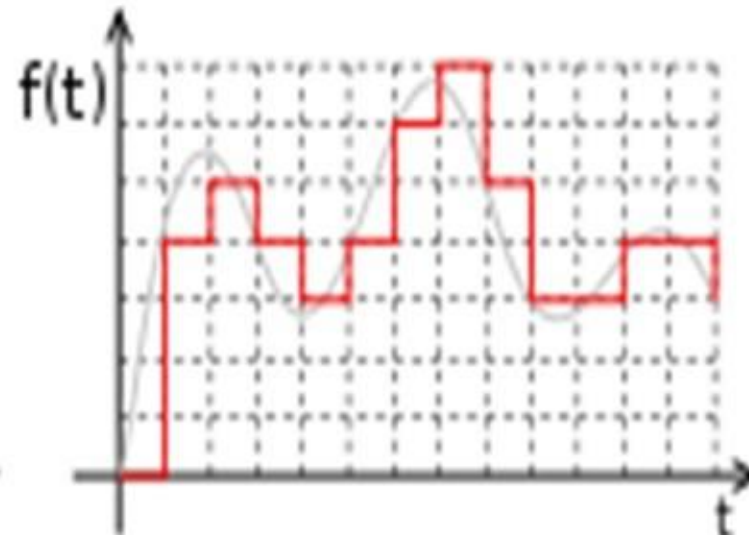
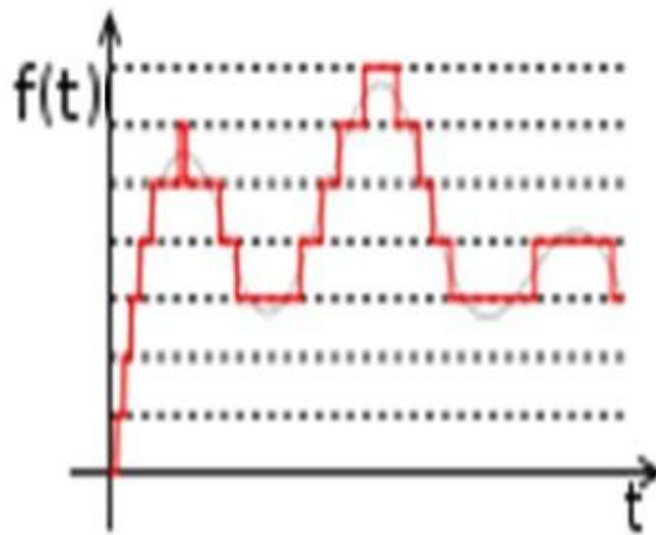
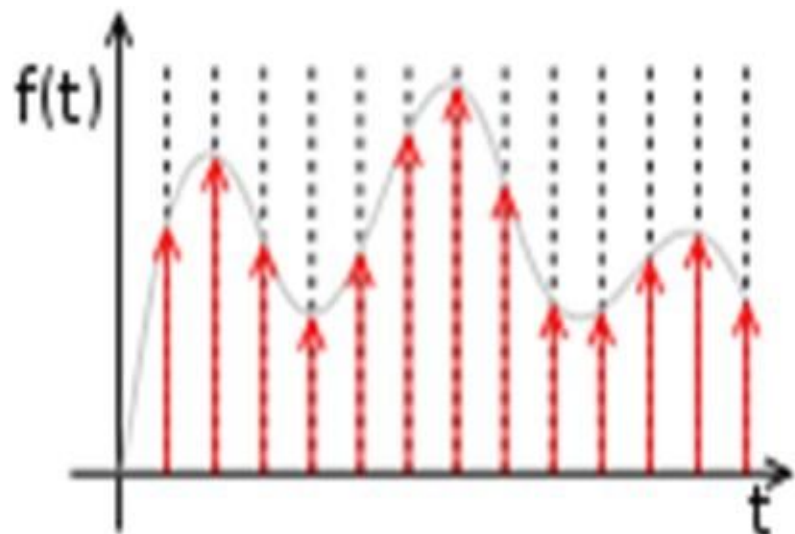
# Дискретизация и квантование изображений



# Дискретизация и квантование изображений



# Дискретизация и квантование изображений



Дискретизованный + Квантованный = Цифровой

**Под квантованием сигнала  $s$  по уровню** подразумевается процесс измерения сигнала в точке дискретизации и выражение результата измерения некоторым числом  $m$  из множества  $m \in \{m_0, \dots, m_k, \dots, m_K\}$ , где  $K$  - число уровней квантования.

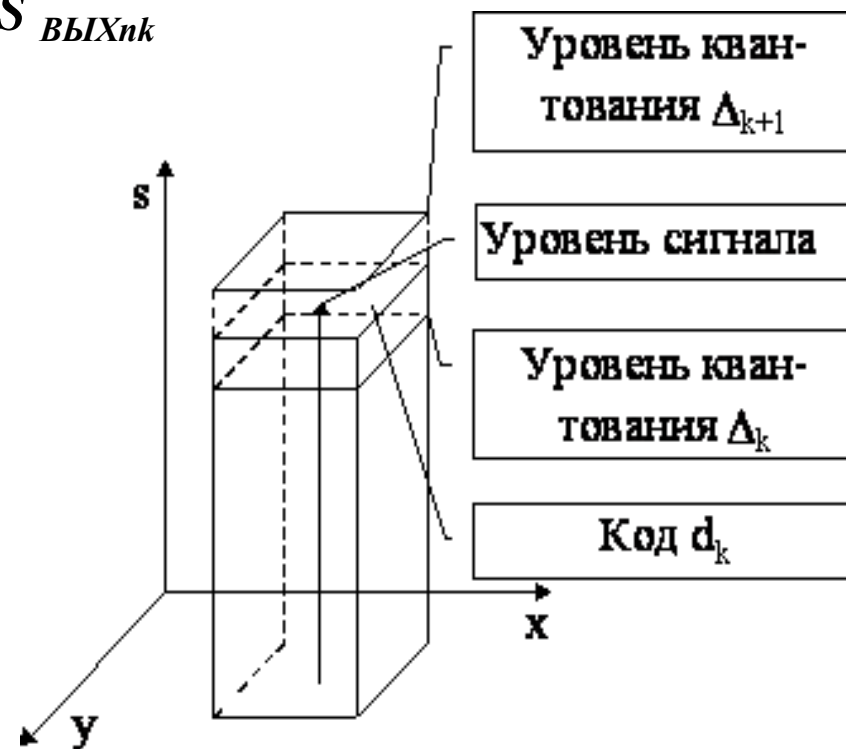
Каждому определенному интервалу входного сигнала  $(k \dots K+1)$  соответствует фиксированное значение выходного  $S_{ВЫХnk}$

Квантование - преобразование непрерывной шкалы уровней каждого отсчета в дискретную шкалу

**Квантование сигнала по уровню это дискретизация сигнала по амплитуде**

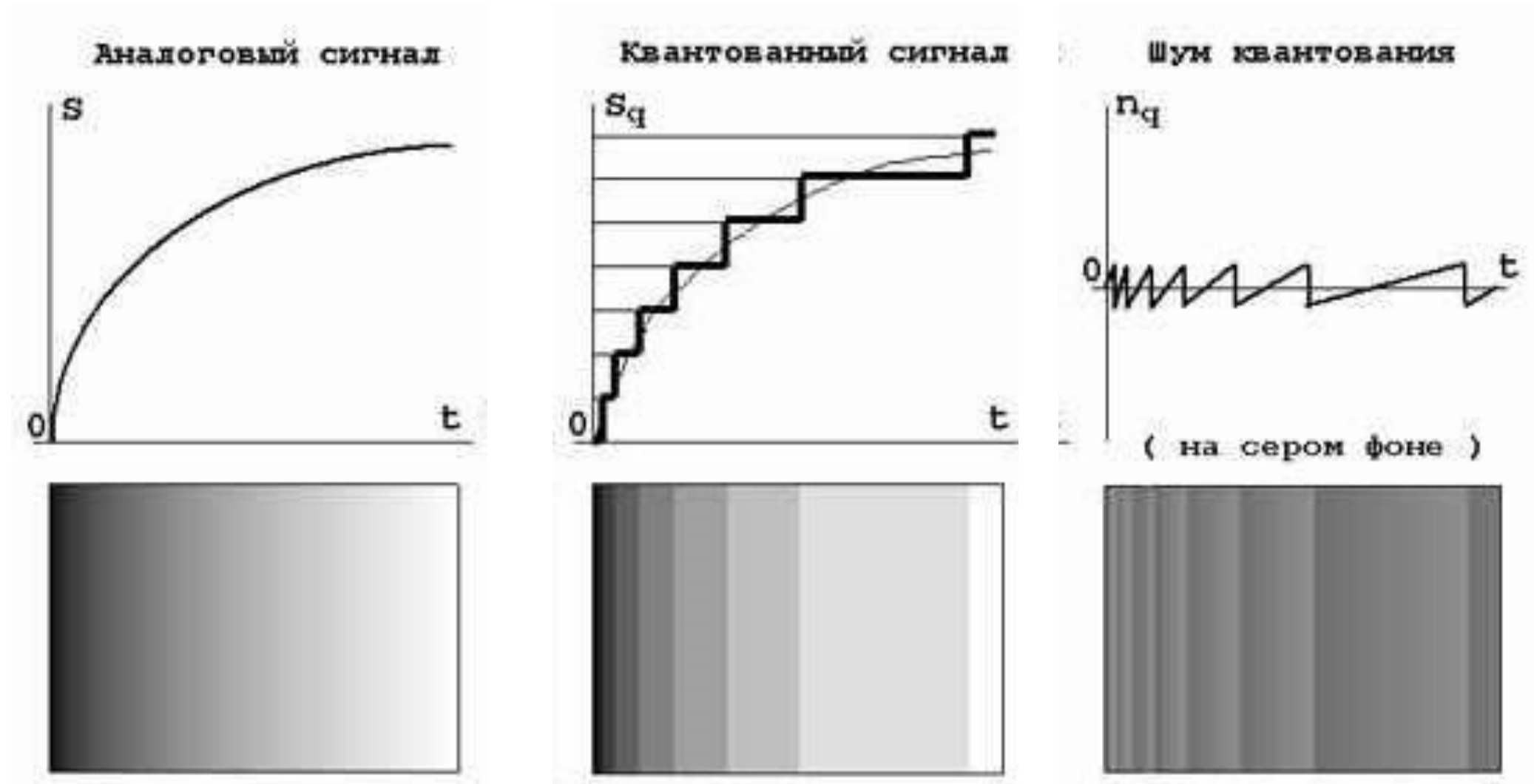
- **Уровень квантования**
- **Шаг квантования**
- **Пороги квантования**

$$N = 2^K - 1$$



Связь пространственной дискретизации и квантования по уровню

## Аналого-цифровое преобразование. Квантование





# Корреляция шумов квантования с сигналом

В отличие от флуктуационных шумов шум квантования коррелирован с сигналом, поэтому шум квантования не может быть устранен последующей фильтрацией. Шум квантования убывает с увеличением числа уровней квантования.

Чем больше уровней квантования, тем меньше ошибка.



изображение,  
квантованное на 32 уровня



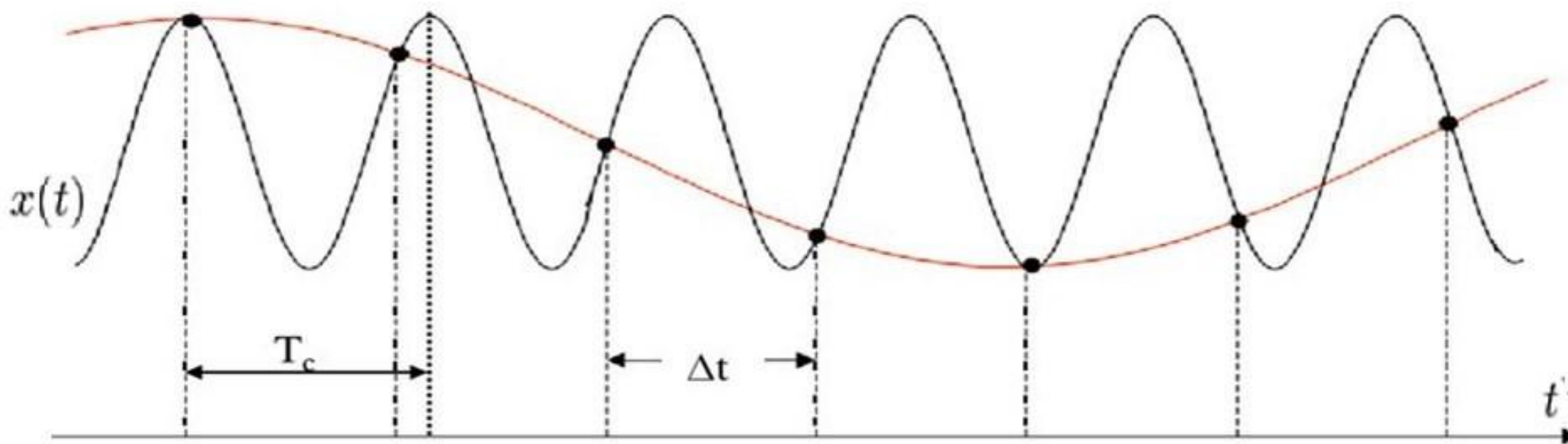
изображение,  
квантованное на 128 уровней

Ошибка квантования случайного сигнала носит шумовой характер, и может моделироваться путем добавления аддитивного шума к сигналу.

# Дискретизация и квантование изображений

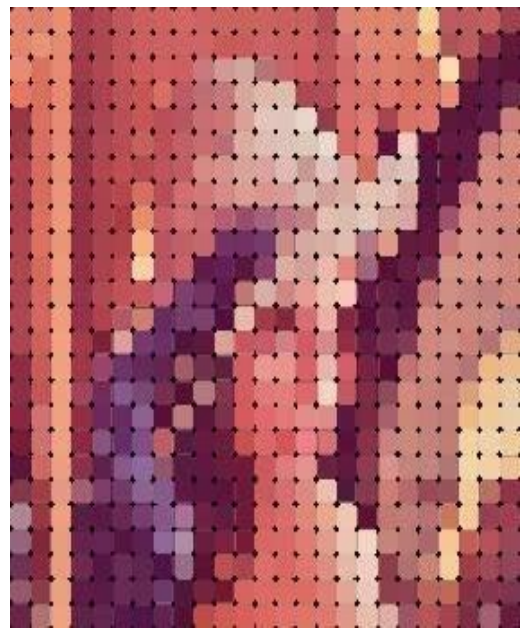
## Теорема Котельникова

$$x(t) = \sum_{k=-\infty}^{\infty} x(k\Delta) \operatorname{sinc} \left[ \frac{\pi}{\Delta} (t - k\Delta) \right], \quad 0 < \Delta \leq \frac{1}{2f_c}.$$



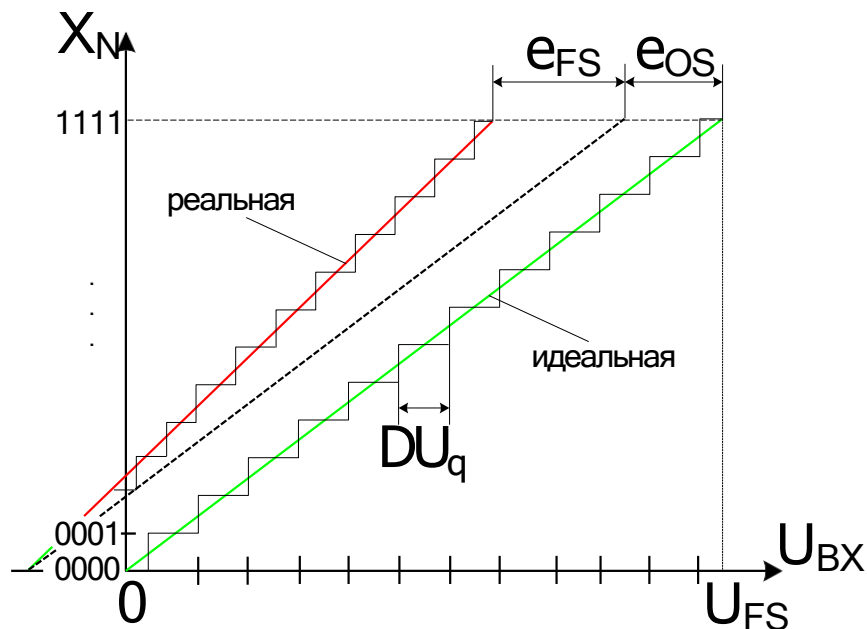
Искажение изображения из-за низкой частоты дискретизации (элайзинг)!





Ложные контуры на реальном изображении

# Статические параметры АЦП



Максимальное напряжение преобразования -

$$(U_{BX})_{\max} = U_{FS}$$

Разрядность АЦП -  $n$

Разрешающая способность -

$$DU_q = \frac{(U_{BX})_{\max}}{2^n - 1} = \frac{U_{FS}}{2^n - 1}$$

**Погрешность полной шкалы** – относительная разность между реальным и идеальным значениями предела шкалы преобразования при отсутствии смещения нуля. Является мультипликативной погрешностью.

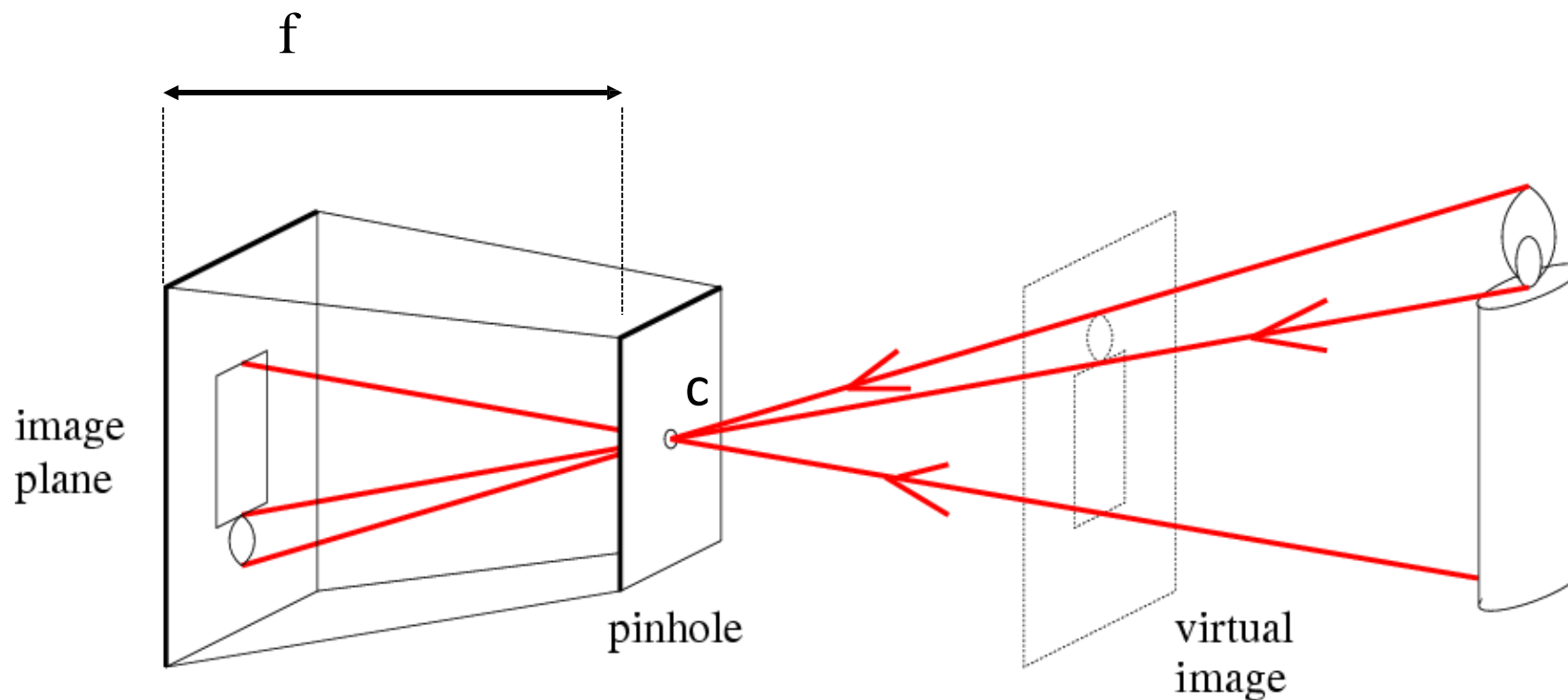
$$d_{FS} = \frac{e_{FS}}{U_{FS}} \cdot 100\%$$

**Погрешность смещения нуля** – значение  $U_{BX}$ , когда выходной код АЦП равен нулю. Является аддитивной составляющей полной погрешности. Часто указывается в милливольтках или в процентах от полной шкалы:

$$d_{OS} = \frac{e_{OS}}{U_{FS}} \cdot 100\%$$

# Формирование изображений

# Модель камеры-обскуры

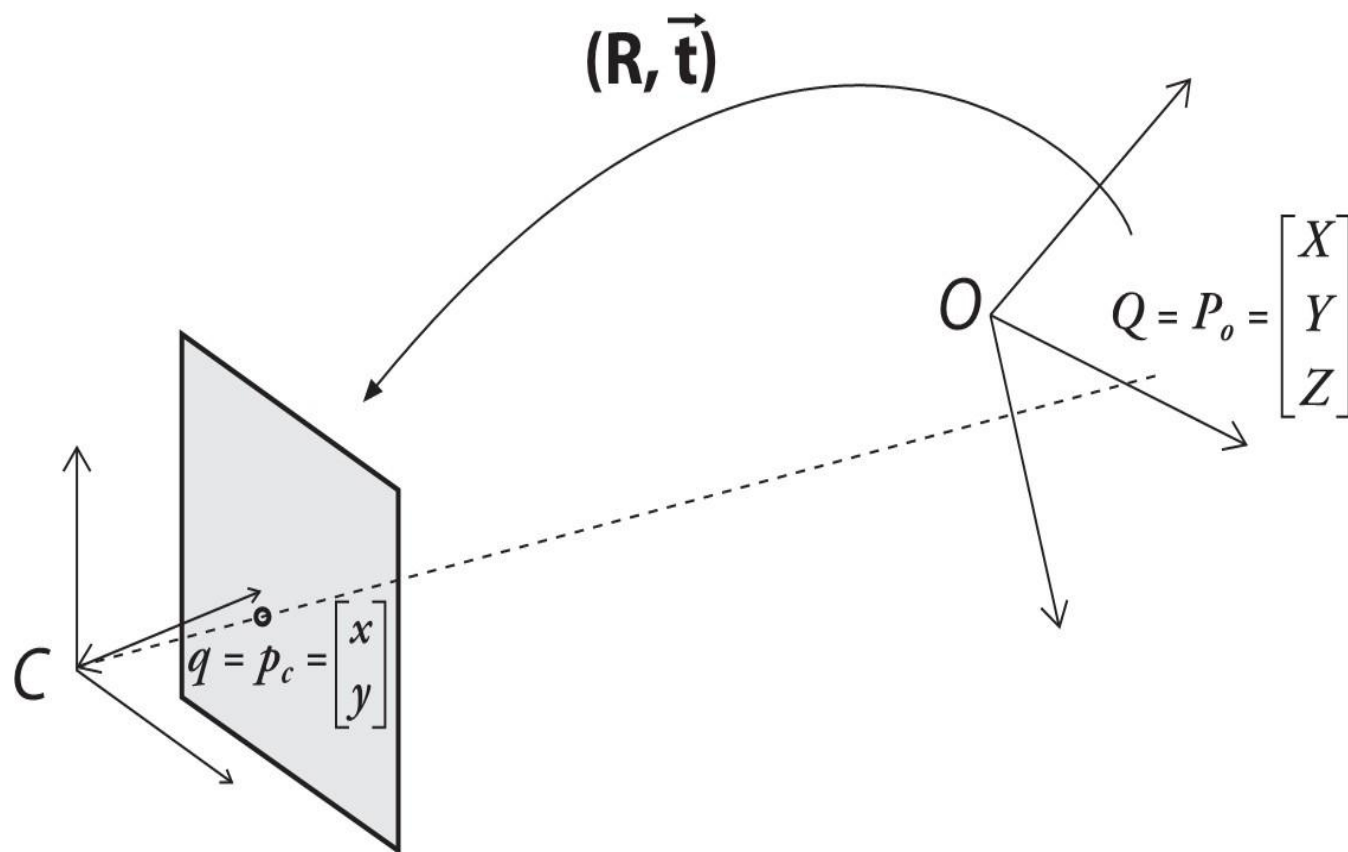
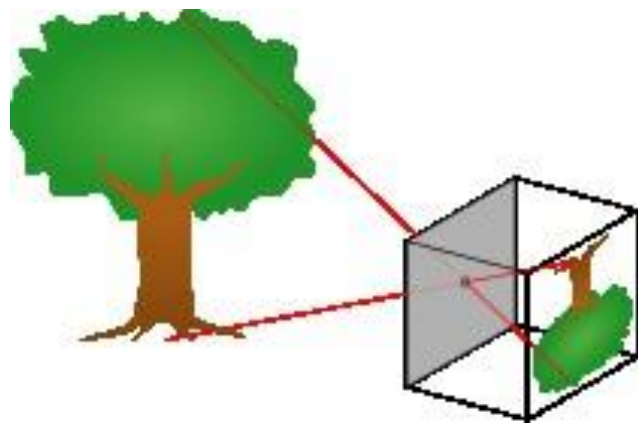


$f$  = фокусное расстояние

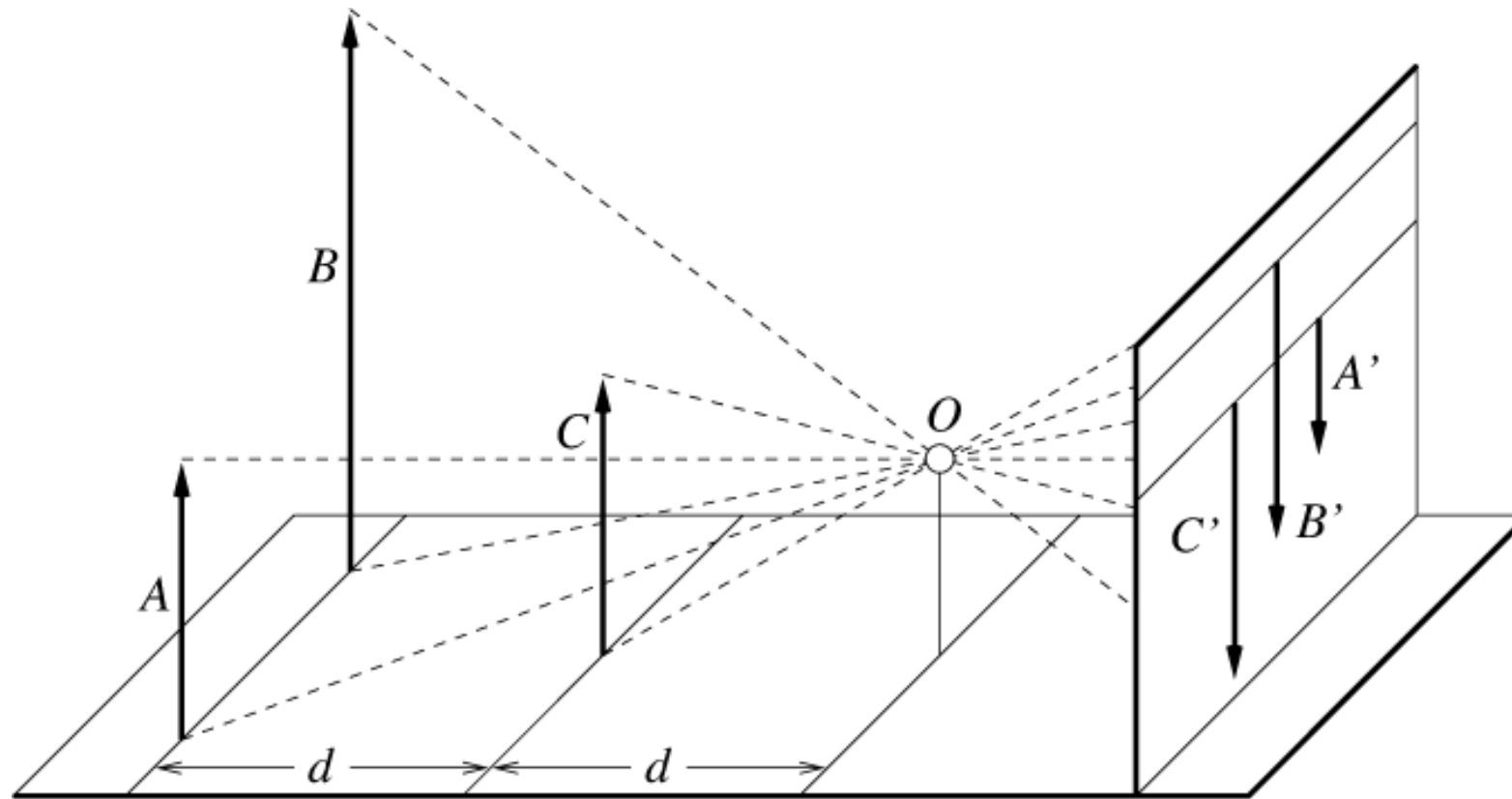
$c$  = центр камеры (центр проекции)

Image plane = картинная (экранная) плоскость

# Математическая модель камеры-обскуры



# Модель камеры-обскуры



**Расстояние не сохраняется**

## Преобразование координат

Пусть задана  $n$ -мерная система координат в базисе  $(k_1, k_2, \dots, k_n)$ , которая описывает положение точки в пространстве с помощью числовых значений  $k_i$

Если задать другую,  $N$ -мерную, систему координат в базисе  $(m_1, m_2, \dots, m_N)$  и поставить задачу определения координат в новой системе, зная координаты в старой, то решение можно записать в таком виде (1)

$$\begin{cases} m_1 = f_1(k_1, k_2, \dots, k_n) \\ m_2 = f_2(k_1, k_2, \dots, k_n) \\ \dots \\ m_N = f_N(k_1, k_2, \dots, k_n) \end{cases} \quad (1)$$

$$\begin{cases} m_1 = f_1(k_1, k_2, \dots, k_n) \\ m_2 = f_2(k_1, k_2, \dots, k_n) \\ \dots \\ m_N = f_N(k_1, k_2, \dots, k_n) \end{cases} \quad (2)$$

где  $f_i$  – функция пересчета  $i$ -ой координаты

Обратная задача: по известным координатам  $(m_1, m_2, \dots, m_N)$  определить координаты  $(k_1, k_2, \dots, k_n)$ , записывается в виде (2)

где  $F_i$  – функция обратного преобразования

## Преобразование координат

По виду функции преобразования различают линейные и нелинейные преобразования

Если при всех  $j=1, 2, \dots, N$  функции  $f_j$  – линейные относительно  $(k_1, k_2, \dots, k_n)$ , то есть

$$f_j = a_{j1}k_1 + a_{j2}k_2 + \dots + a_{jn}k_n + a_{jn+1},$$

где  $a_{ji}$  – константы, то такие преобразования называются

**линейными**, а при  $n=N$  – **аффинными**

Если хотя бы при одном  $j$  функция  $f_j$  – нелинейная относительно  $(k_1, k_2, \dots, k_n)$ , тогда преобразование координат в целом является **нелинейным**



## Преобразование координат

Линейные преобразования наглядно записываются в матричной форме

$$\begin{bmatrix} m_1 \\ m_2 \\ \dots \\ m_N \end{bmatrix} = \begin{bmatrix} a_{11} & \dots & a_{1n} & a_{1n+1} \\ a_{21} & \dots & a_{2n} & a_{2n+1} \\ & \dots & & \\ a_{N1} & \dots & a_{Nn} & a_{Nn+1} \end{bmatrix} \begin{bmatrix} k_1 \\ k_2 \\ \dots \\ k_N \end{bmatrix}$$

т.е. матрица коэффициентов  $a_{ij}$  умножается на матрицу-столбец  $k_i$ , и в результате будем иметь матрицу-столбец  $m_i$

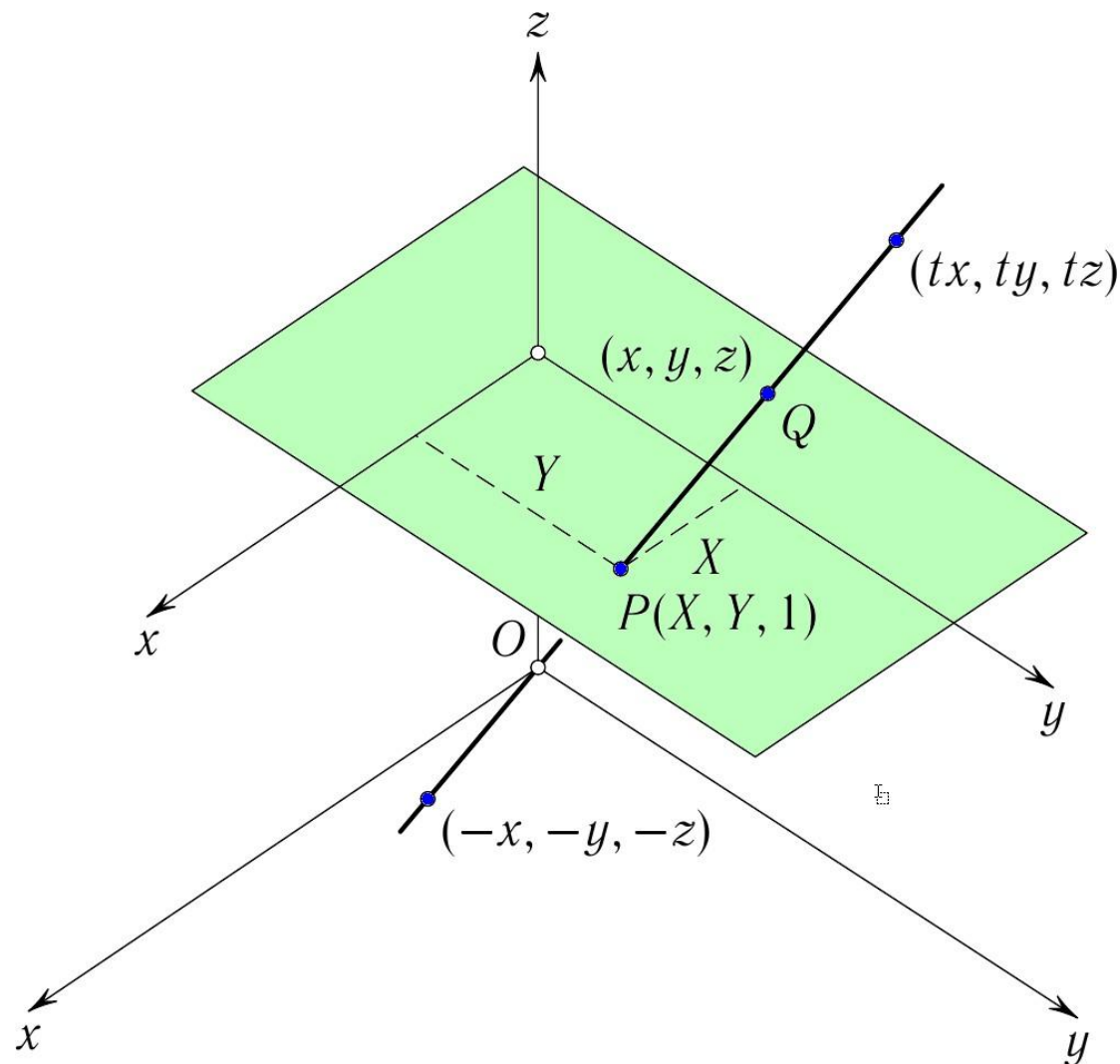
# Однородные координаты

Пусть плоскость  $\pi$  параллельна координатной плоскости  $x, y$  и находится на расстоянии 1 от неё.

Тогда трёхмерные координаты точки  $P$  в плоскости  $\pi$  будут  $(X, Y, 1)$ .

Начало  $O$  координатной системы есть центр проектирования.

Тогда всякой точке  $P$  взаимно однозначно соответствует прямая  $OP$ , проходящая через начало координат.



# Однородные координаты

Представим координаты на плоскости (2D) трехкомпонентной вектор - строкой:

$$(x, y) = (X / w \quad Y / w \quad 1) = (X \quad Y \quad w)$$

Будем полагать  $w = 1$   $(x, y) = (x \quad y \quad 1)$

перепишем преобразование в общем виде:

$$(x' \quad y' \quad 1) = (x \quad y \quad 1) \cdot \begin{pmatrix} a & c & 0 \\ b & d & 0 \\ l & m & 1 \end{pmatrix}$$

## Преобразование К однородным координатам

$$(x, y) \Rightarrow \begin{bmatrix} x \\ y \\ 1 \end{bmatrix}$$

Однородные  
экранные координаты

$$(x, y, z) \Rightarrow \begin{bmatrix} x \\ y \\ z \\ 1 \end{bmatrix}$$

Однородные  
мировые координаты

## Преобразование ИЗ однородных координат

$$\begin{bmatrix} x \\ y \\ w \end{bmatrix} \Rightarrow (x/w, y/w)$$

$$\begin{bmatrix} x \\ y \\ z \\ w \end{bmatrix} \Rightarrow (x/w, y/w, z/w)$$

# Преобразования в однородных координатах

- подвергнем точку последовательным преобразованиям системы координат:

$$(x' \ y' \ 1) = (x \ y \ 1) \cdot M_1$$

$$(x'' \ y'' \ 1) = (x' \ y' \ 1) \cdot M_2$$

$$(x''' \ y''' \ 1) = (x'' \ y'' \ 1) \cdot M_3$$

- перепишем:

$$(x' \ y' \ 1) = (((x \ y \ 1) \cdot M_1) \cdot M_2) \cdot M_3$$

- в силу ассоциативности:

$$(x' \ y' \ 1) = (x \ y \ 1) \cdot (M_1 \cdot M_2 \cdot M_3)$$

$$(x' \ y' \ 1) = (x \ y \ 1) \cdot M_{transform}$$

# Преобразования в однородных координатах

- общая формула:

$$(x \quad y \quad w) = (x' \quad y' \quad w') \cdot \begin{pmatrix} a_{11} & a_{12} & a_{13} \\ a_{21} & a_{22} & a_{23} \\ a_{31} & a_{32} & a_{33} \end{pmatrix}$$

- прямое отображение:

$$x = a_{11}x' + a_{21}y' + a_{31}w'$$

$$y = a_{12}x' + a_{22}y' + a_{32}w'$$

$$w = a_{13}x' + a_{23}y' + a_{33}w'$$

- полагаем  $w=1$ , итоговая формула для координат:

$$\frac{x}{w} = \frac{a_{11}x' + a_{21}y' + a_{31}}{a_{13}x' + a_{23}y' + a_{33}}$$

$$\frac{y}{w} = \frac{a_{12}x' + a_{22}y' + a_{32}}{a_{13}x' + a_{23}y' + a_{33}}$$

Преобразование нелинейно!

## Однородные координаты

---

Рассмотрим прямые на плоскости:

$$ax + by + c = 0$$

Вектор  $(a, b, c)^T$

$$(ka)x + (kb)y + (kc) = 0$$

Вектор  $(ka, kb, kc)^T$

- Два вектора, отличающихся масштабом, можно считать эквивалентными
- Однородным (homogenous) вектором назовём класс эквивалентности, по указанному отношению эквивалентности

## Идеальные точки

---

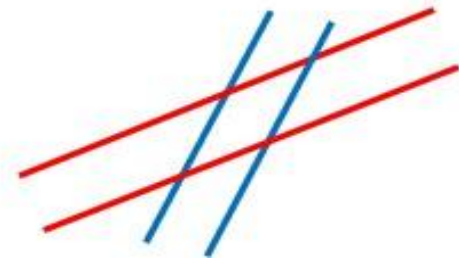
- Рассмотрим параллельные линии:

$$ax + by + c = 0$$

$$ax + by + c' = 0$$

- Точка пересечения будет:  $(b, -a, 0)^T$
- Точки вида  $(x, y, 0)^T$  - идеальные точки в «бесконечности»

- Пример:  $x=1$ ,  $x=2$





## Аффинные преобразования на плоскости

Зададим некоторую двумерную систему координат  $(x, y)$ . Аффинное преобразование на плоскости описывается формулами

$$\begin{cases} X = Ax + By + C, \\ Y = Dx + Ey + F, \end{cases}$$

где  $A, B, \dots, F$  – константы. Значение  $(X, Y)$  можно рассматривать как координаты в новой системе координат

Обратное преобразование  $(X, Y)$  в  $(x, y)$  также является аффинным:

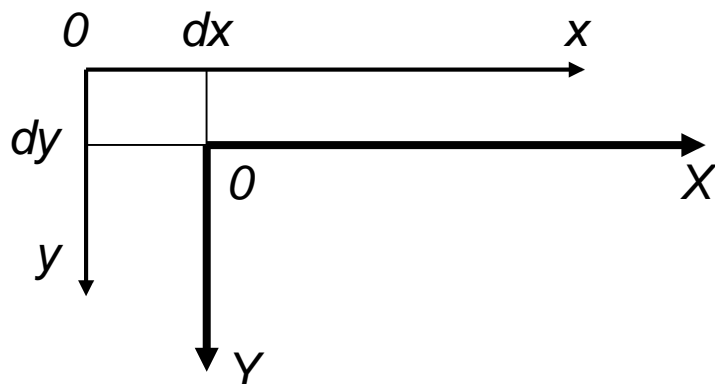
$$\begin{cases} X = Ax + By + C, \\ Y = Dx + Ey + F, \end{cases}$$

В матричном виде:

$$\begin{bmatrix} X \\ Y \\ 1 \end{bmatrix} = \begin{bmatrix} A & B & C \\ D & E & F \\ 0 & 0 & 1 \end{bmatrix} \begin{bmatrix} x \\ y \\ 1 \end{bmatrix}$$

# Аффинные преобразования на плоскости

## 1. Параллельный сдвиг координат



$$\begin{cases} X = x - dx, \\ Y = y - dy. \end{cases}$$

В матричной форме:

$$\begin{bmatrix} 1 & 0 & -dx \\ 0 & 1 & -dy \\ 0 & 0 & 1 \end{bmatrix}$$

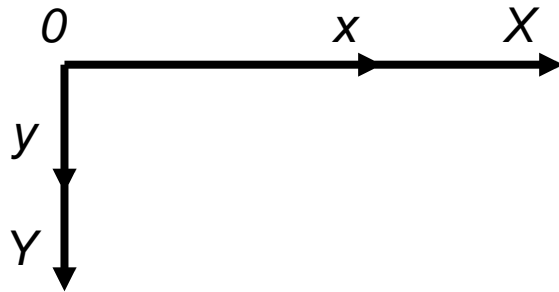
Обратное преобразование:

$$\begin{cases} x = X + dx, \\ y = Y + dy, \end{cases}$$

$$\begin{bmatrix} 1 & 0 & dx \\ 0 & 1 & dy \\ 0 & 0 & 1 \end{bmatrix}$$

# Аффинные преобразования на плоскости

## 2. Растяжение-сжатие осей координат



$$\begin{cases} X = x / k_x, \\ Y = y / k_y. \end{cases}$$

В матричной форме:

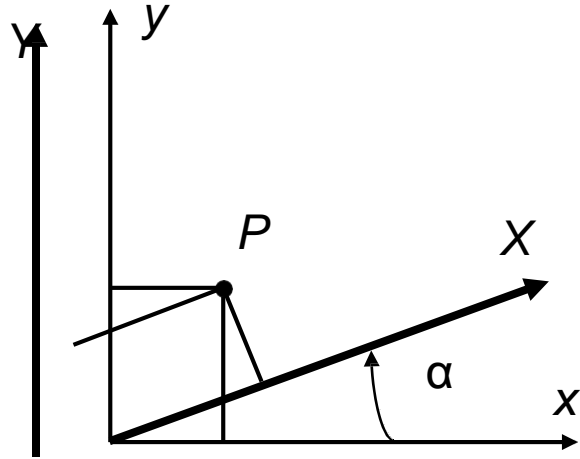
$$\begin{bmatrix} 1/k_x & 0 & 0 \\ 0 & 1/k_y & 0 \\ 0 & 0 & 1 \end{bmatrix}$$

Обратное преобразование:

$$\begin{cases} x = Xk_x, \\ y = Yk_y, \end{cases} \quad \begin{bmatrix} k_x & 0 & 0 \\ 0 & k_y & 0 \\ 0 & 0 & 1 \end{bmatrix}$$

# Аффинные преобразования на плоскости

## 3. Поворот



$$\begin{cases} X = x \cos \alpha + y \sin \alpha, \\ Y = -x \sin \alpha + y \cos \alpha. \end{cases}$$

В матричной форме:

$$\begin{bmatrix} \cos \alpha & \sin \alpha & 0 \\ -\sin \alpha & \cos \alpha & 0 \\ 0 & 0 & 1 \end{bmatrix}$$

Обратное преобразование:

$$\begin{cases} x = X \cos \alpha - Y \sin \alpha, \\ y = X \sin \alpha + Y \cos \alpha, \end{cases}$$

$$\begin{bmatrix} \cos \alpha & -\sin \alpha & 0 \\ \sin \alpha & \cos \alpha & 0 \\ 0 & 0 & 1 \end{bmatrix}$$

# Трёхмерные аффинные преобразования

В общем виде записываются

$$\begin{cases} X = Ax + By + Cz + D, \\ Y = Ex + Fy + Gz + H, \\ Z = Kx + Ly + Mz + N, \end{cases}$$

где ***A, B, ..., N*** - константы

В матричном виде

$$\begin{bmatrix} X \\ Y \\ Z \\ 1 \end{bmatrix} = \begin{bmatrix} A & B & C & D \\ E & F & G & H \\ K & L & M & N \\ 0 & 0 & 0 & 1 \end{bmatrix} \begin{bmatrix} x \\ y \\ z \\ 1 \end{bmatrix}$$

## Трёхмерные аффинные преобразования

1. Сдвиг осей координат соответственно на  $dx$ ,  $dy$ ,  $dz$ :

$$\begin{cases} X = x - dx, \\ Y = y - dy, \\ Z = z - dz, \end{cases} \quad \begin{bmatrix} 1 & 0 & 0 & -dx \\ 0 & 1 & 0 & -dy \\ 0 & 0 & 1 & -dz \\ 0 & 0 & 0 & 1 \end{bmatrix}.$$

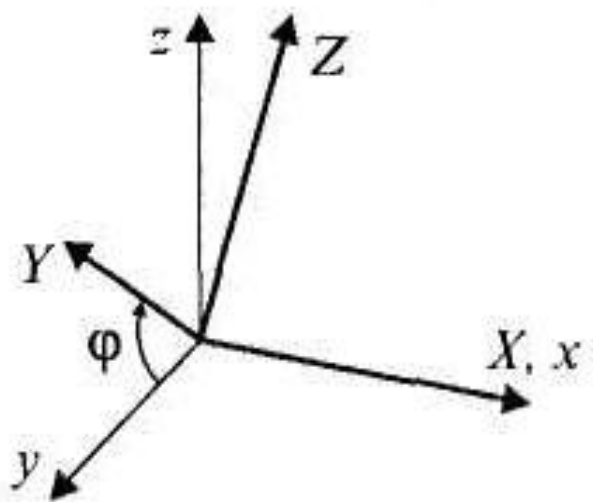
2. Растяжение/сжатие на  $k_x$ ,  $k_y$ ,  $k_z$ :

$$\begin{cases} X = x / k_x, \\ Y = y / k_y, \\ Z = z / k_z, \end{cases} \quad \begin{bmatrix} 1/k_x & 0 & 0 & 0 \\ 0 & 1/k_y & 0 & 0 \\ 0 & 0 & 1/k_z & 0 \\ 0 & 0 & 0 & 1 \end{bmatrix}.$$

# Трёхмерные аффинные преобразования

3. Повороты - в трёхмерном пространстве существует больше разновидностей поворота, сравнительно с двумерным пространством

Поворот вокруг оси  $x$  на угол  $\phi$

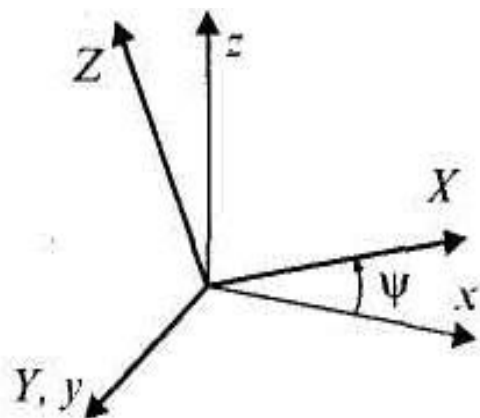


Поворот вокруг оси  $x$

$$\begin{cases} X = x, \\ Y = y \cos \phi + z \sin \phi, \\ Z = -y \sin \phi + z \cos \phi, \end{cases}$$

$$\begin{bmatrix} 1 & 0 & 0 & 0 \\ 0 & \cos \phi & \sin \phi & 0 \\ 0 & -\sin \phi & \cos \phi & 0 \\ 0 & 0 & 0 & 1 \end{bmatrix}.$$

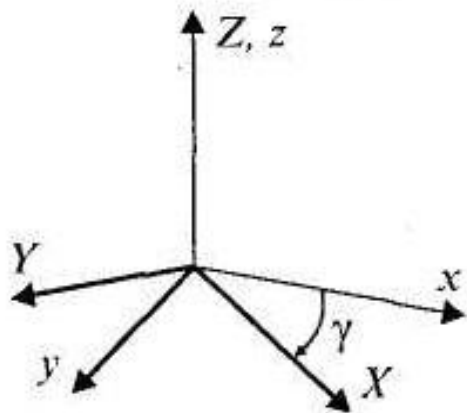
## Трёхмерные аффинные преобразования



Поворот вокруг оси y

$$\begin{cases} X = x \cos \psi + z \sin \psi, \\ Y = y, \\ Z = -x \sin \psi + z \cos \psi, \end{cases}$$

$$\begin{bmatrix} \cos \psi & 0 & \sin \psi & 0 \\ 0 & 1 & 0 & 0 \\ -\sin \psi & 0 & \cos \psi & 0 \\ 0 & 0 & 0 & 1 \end{bmatrix}.$$



Поворот вокруг оси z

$$\begin{cases} X = x \cos \gamma + y \sin \gamma, \\ Y = -x \sin \gamma + y \cos \gamma, \\ Z = z, \end{cases}$$

$$\begin{bmatrix} \cos \gamma & \sin \gamma & 0 & 0 \\ -\sin \gamma & \cos \gamma & 0 & 0 \\ 0 & 0 & 1 & 0 \\ 0 & 0 & 0 & 1 \end{bmatrix}.$$



## Обратные аффинные преобразования

$$\begin{pmatrix} x' & y' & 1 \end{pmatrix} = \begin{pmatrix} x & y & 1 \end{pmatrix} \cdot M_{transform}$$

$$\begin{pmatrix} x & y & 1 \end{pmatrix} = \begin{pmatrix} x' & y' & 1 \end{pmatrix} \cdot M_{transform}^{-1}$$

$$M_{transform} = \begin{pmatrix} a & c & 0 \\ b & d & 0 \\ l & m & 1 \end{pmatrix}$$

$$M_{transform}^{-1} = \frac{1}{ad - bc} \cdot \begin{pmatrix} d & -c & 0 \\ -b & a & 0 \\ bm - ld & lc - am & ad - bc \end{pmatrix}$$

## Общий вид матрицы 3D преобразований

Матрица преобразования для трёхмерных однородных координат в общем случае имеет вид:

$$\begin{array}{c} \text{2D -} \\ \begin{bmatrix} A & B & P \\ D & E & Q \\ L & M & S \end{bmatrix} \end{array} \quad \begin{array}{c} \text{3D -} \\ \begin{bmatrix} A & B & C & P \\ D & E & F & Q \\ G & H & I & R \\ L & M & N & S \end{bmatrix} \end{array}$$

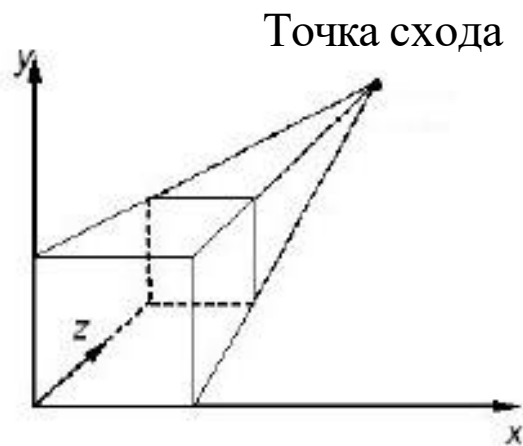
где подматрица  $[A - I]$  отвечает за поворот в 3D пространстве, а так же определяет изменения масштаба и сдвиг,

$L - N$  определяют перенос. Элемент  $S$  определяет общее изменение масштаба, а элементы  $P, Q, R$  определяют перспективные искажения.

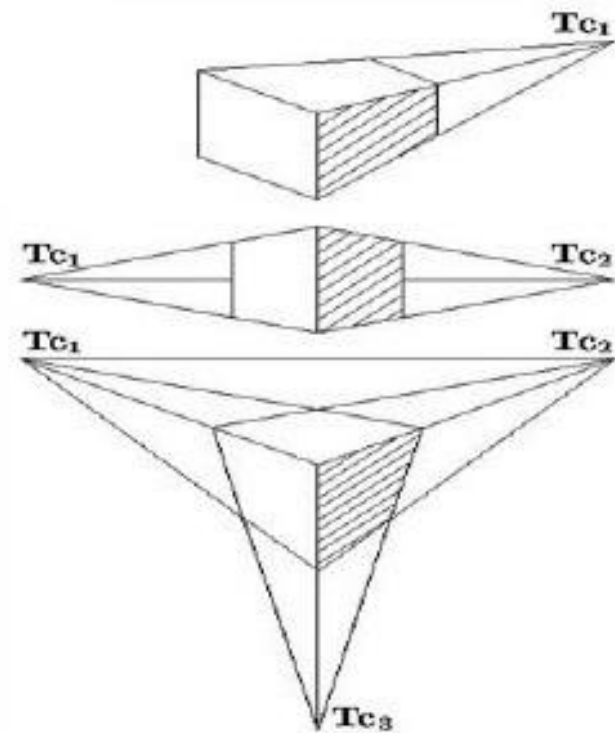
(матрица приведена в формате для вектора строки!!!)

# Центральные проекции: одноточечная, двухточечная и трехточечная

---



Точка схода расположена на оси  $z$



## Центральные проекции

Одноточечное перспективное преобразование задается равенством

$$\begin{bmatrix} x & y & z & 1 \end{bmatrix} = \begin{bmatrix} 1 & 0 & 0 & 0 \\ 0 & 1 & 0 & 0 \\ 0 & 0 & 1 & r \\ 0 & 0 & 0 & 1 \end{bmatrix} = \begin{bmatrix} x & y & z & rz + 1 \end{bmatrix}$$

Обычные координаты получаются делением на  $rz + 1$

$$\begin{bmatrix} x^* & y^* & z^* & 1 \end{bmatrix} = \begin{bmatrix} \frac{x}{rz + 1} & \frac{y}{rz + 1} & \frac{z}{rz + 1} & 1 \end{bmatrix}$$

## Центральные проекции

Перспективное проецирование на некоторую двумерную видовую плоскость можно получить, объединив ортографическую проекцию с перспективным преобразованием.

Например, перспективное проецирование на плоскость  $z=0$  выполняется с помощью преобразований

$$[T] = [P_r][P_z] = \begin{bmatrix} 1 & 0 & 0 & 0 \\ 0 & 1 & 0 & 0 \\ 0 & 0 & 1 & r \\ 0 & 0 & 0 & 1 \end{bmatrix} \cdot \begin{bmatrix} 1 & 0 & 0 & 0 \\ 0 & 1 & 0 & 0 \\ 0 & 0 & 0 & 0 \\ 0 & 0 & 0 & 1 \end{bmatrix} = \begin{bmatrix} 1 & 0 & 0 & 0 \\ 0 & 1 & 0 & 0 \\ 0 & 0 & 0 & r \\ 0 & 0 & 0 & 1 \end{bmatrix}$$

## Центральные проекции

Одноточечная перспектива

$$\begin{bmatrix} x & y & z & 1 \end{bmatrix} \cdot \begin{bmatrix} 1 & 0 & 0 & 0 \\ 0 & 1 & 0 & 0 \\ 0 & 0 & 0 & r \\ 0 & 0 & 0 & 1 \end{bmatrix} = \begin{bmatrix} x & y & 0 & rz + 1 \end{bmatrix}$$

Обычные координаты равны:

$$\begin{bmatrix} x^* & y^* & z^* & 1 \end{bmatrix} = \begin{bmatrix} \frac{x}{rz + 1} & \frac{y}{rz + 1} & 0 & 1 \end{bmatrix}$$

## Центральные проекции

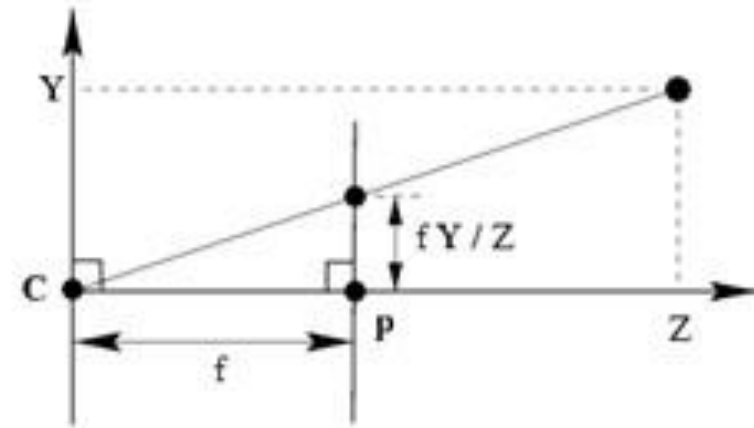
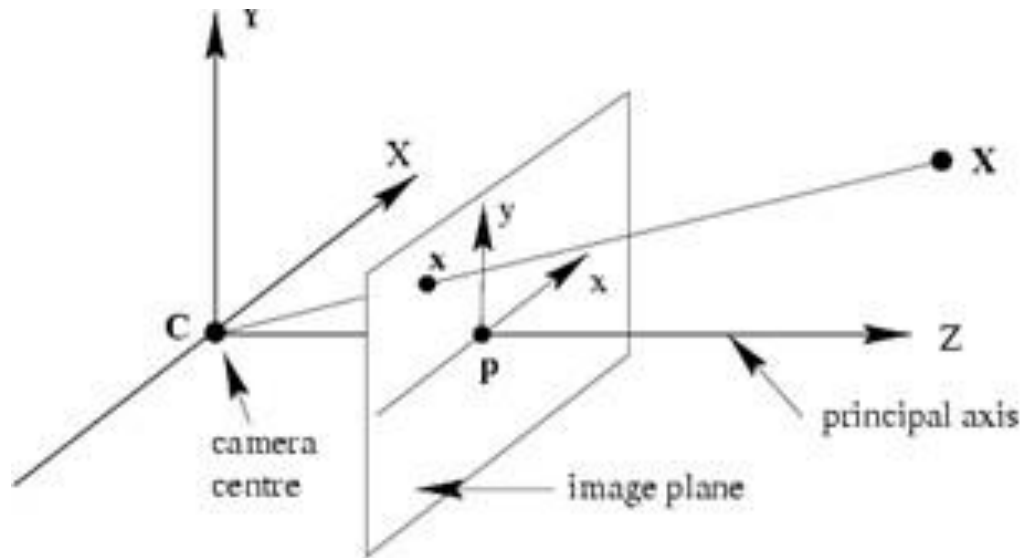
**Трехточечная перспектива** получается, если не равны нулю три первых элемента четвертого столбца (4x4)-матрицы преобразования. Трехточечное перспективное преобразование задается равенством

$$\begin{bmatrix} x & y & z & 1 \end{bmatrix} \cdot \begin{bmatrix} 1 & 0 & 0 & p \\ 0 & 1 & 0 & q \\ 0 & 0 & 1 & r \\ 0 & 0 & 0 & 1 \end{bmatrix} = \begin{bmatrix} x & y & z & (px + qy + rz + 1) \end{bmatrix}$$

Обычные координаты:  $\begin{bmatrix} x^* & y^* & z^* & 1 \end{bmatrix} = \begin{bmatrix} \frac{x}{px + qy + rz + 1} & \frac{y}{px + qy + rz + 1} & \frac{z}{px + qy + rz + 1} & 1 \end{bmatrix}$

Трехточечное перспективное преобразование может быть получено конкатенацией трех одноточечных перспективных преобразований, по одному на каждую координатную ось.

# Модель камеры обскуры



$$x = f \frac{X}{Z} \quad y = f \frac{Y}{Z}$$



## Модель камеры обскуры

$$u = m_u \left( \frac{fX}{Z} + t_x \right) = \frac{f_x X}{Z} + c_x$$

$$v = m_v \left( \frac{fY}{Z} + t_y \right) = \frac{f_y Y}{Z} + c_y$$

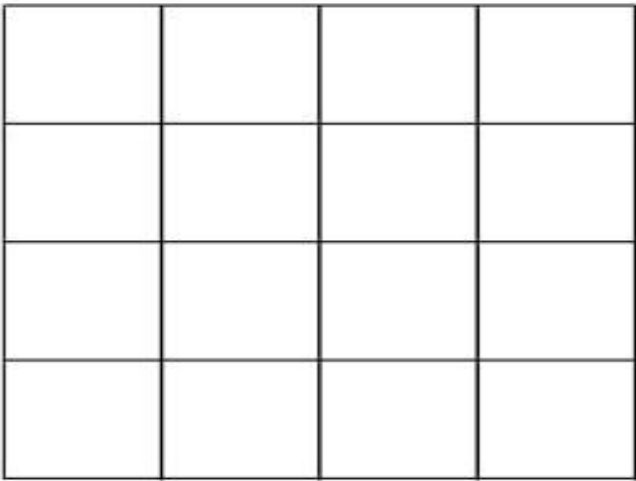
$$\begin{pmatrix} u \\ v \\ w \end{pmatrix} = \begin{pmatrix} f_x & 0 & c_x \\ 0 & f_y & c_y \\ 0 & 0 & 1 \end{pmatrix} \begin{pmatrix} X \\ Y \\ Z \end{pmatrix} = KP$$

$$K = \begin{pmatrix} f_x & 0 & c_x \\ 0 & f_y & c_y \\ 0 & 0 & 1 \end{pmatrix}$$

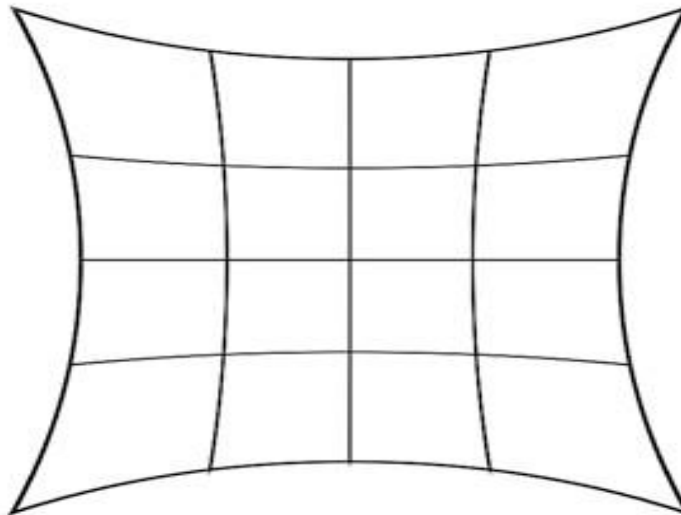
# Дисторсии

*distortio* — ИСКРИВЛЕНИЕ, коэффициент линейного увеличения изменяется по полю зрения объектива.  
При этом нарушается геометрическое подобие между объектом и его изображением

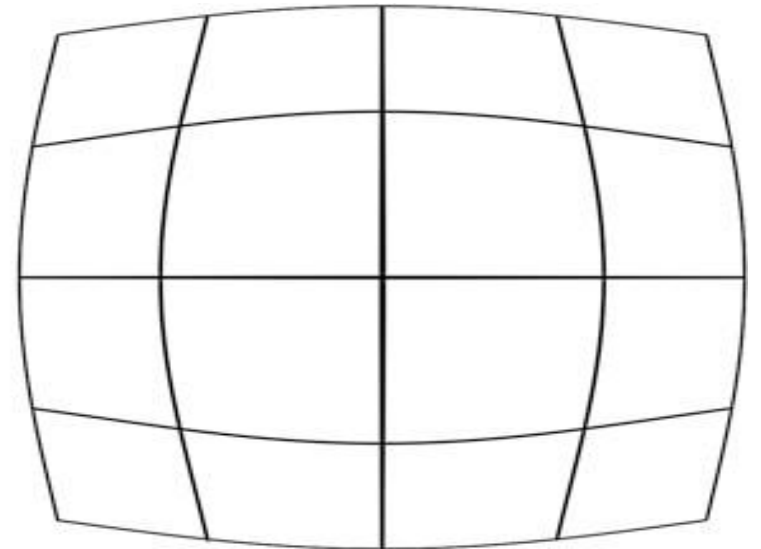
Нулевая  
дисторсия



Положительная  
дисторсия  
“подушка”



Отрицательная  
дисторсия  
“бочка”

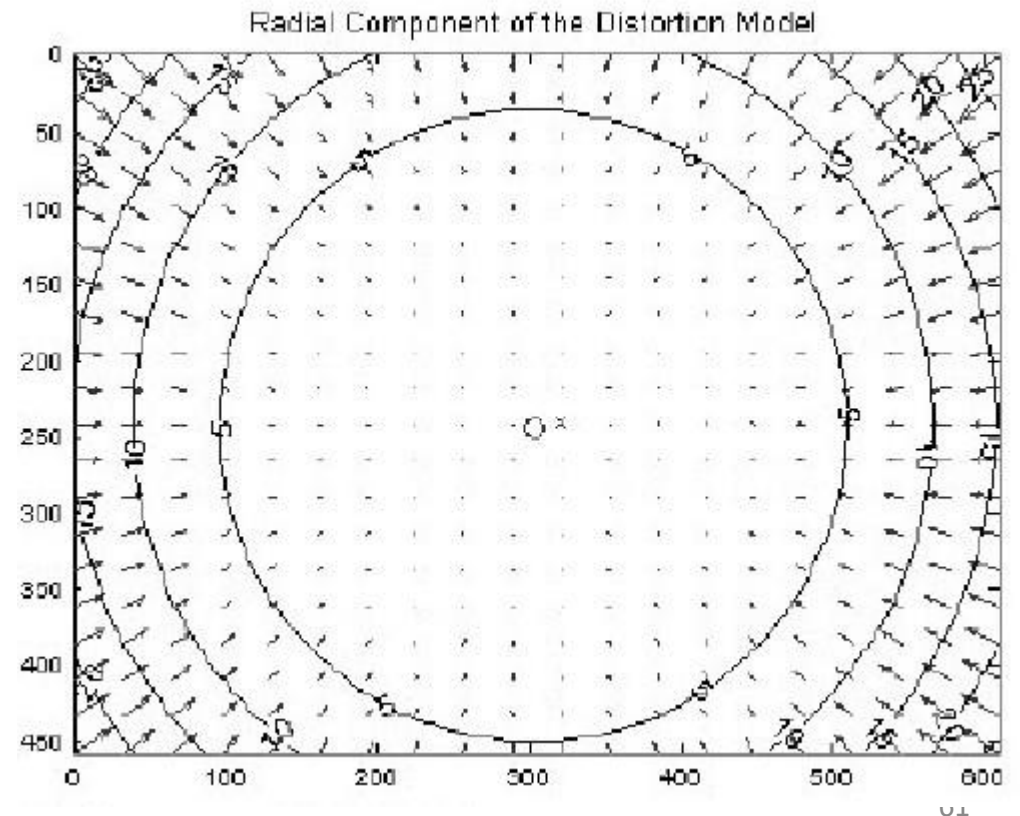
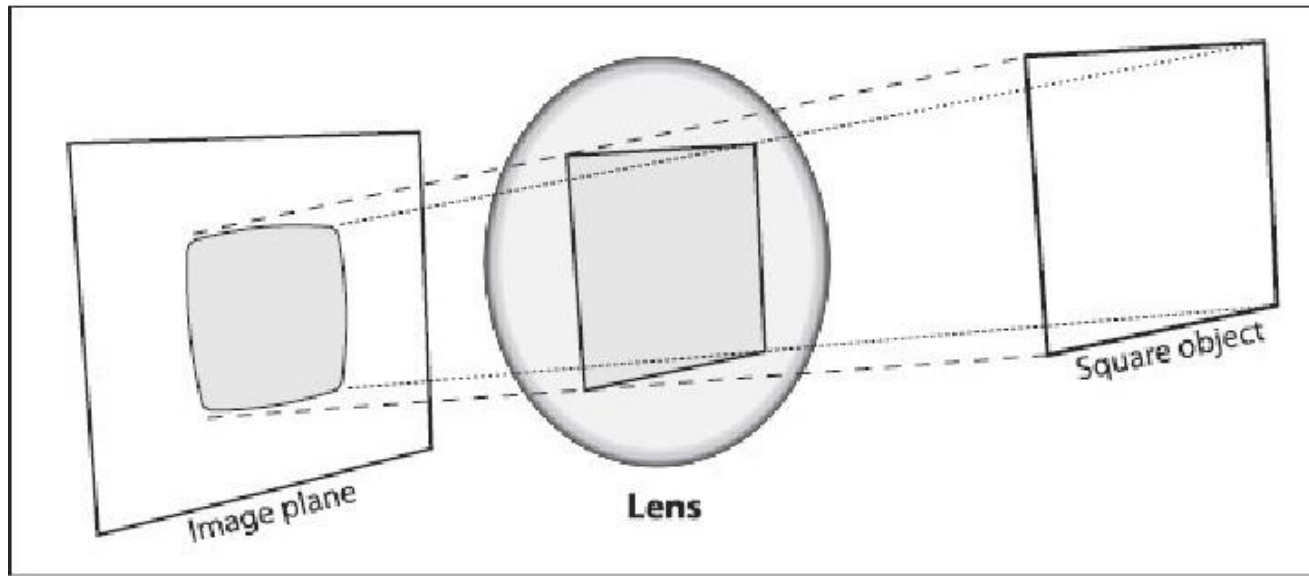


# Дисторсии

- Радиальные искажения возникают в результате формы объектива
- Тангенциальные искажения возникают как результат сборки камеры в целом.

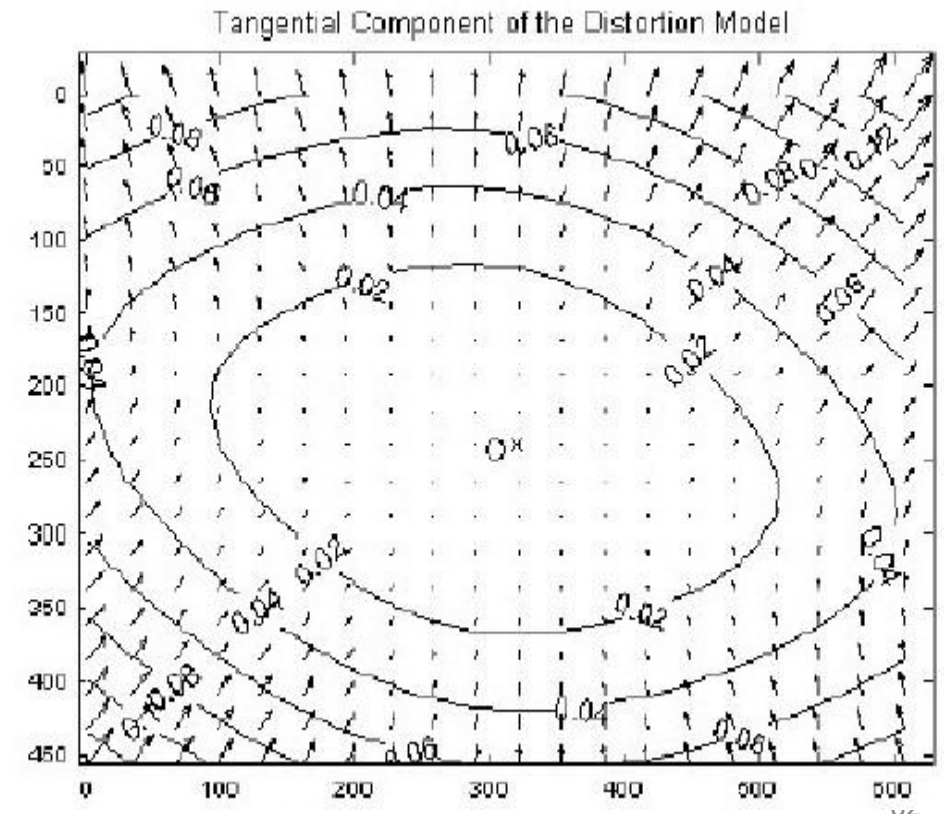
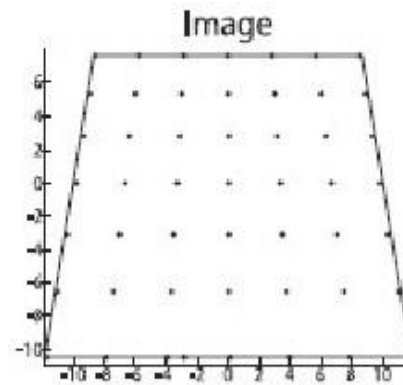
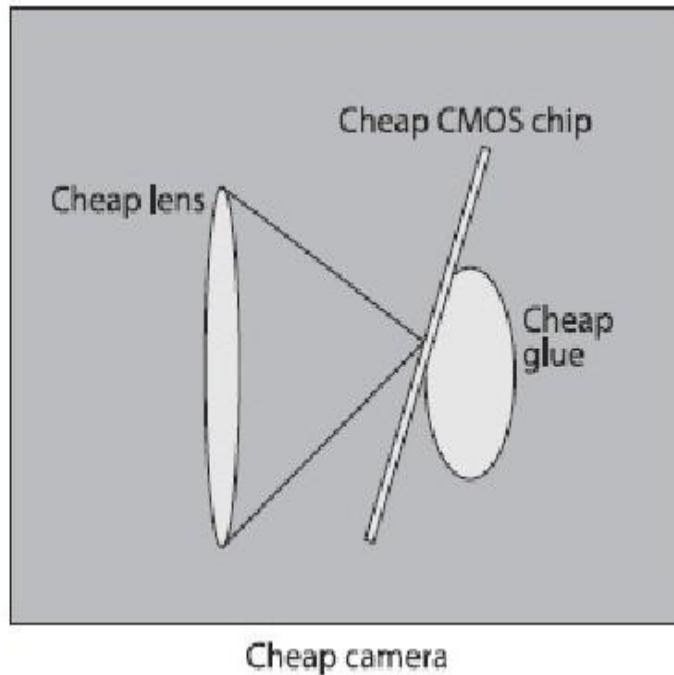
# Радиальные искажения

- Линзы реальных камер часто искажают расположения пикселей вблизи краев фотоприёмника. Это выпуклое явление появляется в результате эффекта «бочка» или «рыбий глаз»



# Тангенциальные искажения

- возникают в результате производственных дефектов, возникающих от не точно параллельно установленных линз к плоскости изображения



- Существует ещё множество других видов искажений, которые возникают в системах визуализации, но они, как правило, имеют малый эффект по сравнению с радиальным и тангенциальным искажениями. В связи с этим данные (другие) искажения рассматриваться не будут.

# Модель Дисторсии OpenCV

$$x' = \frac{X}{Z}, y' = \frac{Y}{Z}$$

$$x'' = x' \frac{1 + k_1 r^2 + k_2 r^4 + k_3 r^6}{1 + k_4 r^2 + k_5 r^4 + k_6 r^6} + 2p_1 x' y' + p_2 (r^2 + 2x'^2)$$

$$y'' = y' \frac{1 + k_1 r^2 + k_2 r^4 + k_3 r^6}{1 + k_4 r^2 + k_5 r^4 + k_6 r^6} + p_1 (r^2 + 2y'^2) + 2p_2 x' y'$$

$$r^2 = x'^2 + y'^2$$

$$u = f_x * x'' + c_x$$

$$v = f_y * y'' + c_y$$

$$D = (k_1, k_2, p_1, p_2[, k_3[, k_4, k_5, k_6]])$$

# Параметры камеры

- Внутренние

$$K = \begin{pmatrix} f_x & 0 & c_x \\ 0 & f_y & c_y \\ 0 & 0 & 1 \end{pmatrix}$$

$$D = (k_1, k_2, p_1, p_2 [, k_3 [, k_4, k_5, k_6 ]])$$

- Внешние

Матрица поворота - R

Вектор переноса системы координат - T